

# brýlové čočky



# Drobnosti z historie



středověký čtecí kámen

- „zvětšení pomocí skla naplněného vodou“ písemně zmíněno r. 100 (AD)
- čtecí kameny (čisté sklo ve tvaru obléžků) v 9. století
- v Evropě brýle od cca 13. století, nejprve spojné čočky
- od cca 16. století také rozptylky pro myopy
- „skrářnové brýle“ (s ručkami) až od začátku 18. století



1690: brýle Norimberského stylu se zelenými čočkami



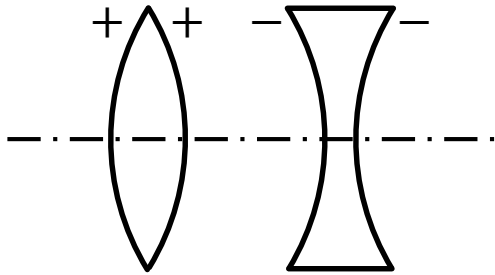
1780: stříbrné brýle



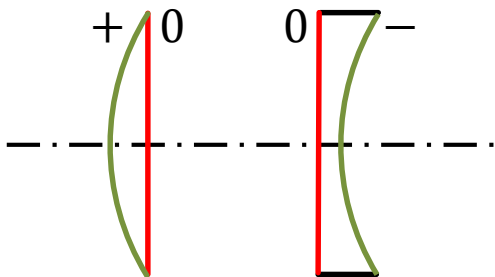
konec 18. století: mosazné obruby, kruhové čočky

# Tvar čočky

$$\varphi'_1 = \frac{n_B - 1}{r_1} > 0 \quad \varphi'_2 = \frac{1 - n_B}{r_2} < 0$$

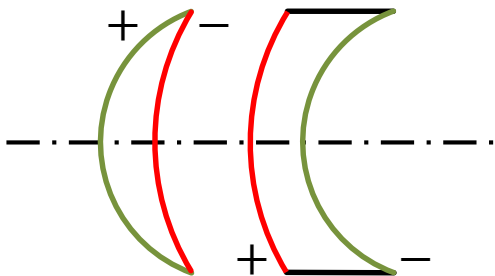


bikonvexní, bikonkávní čočka  
(nepříznivý průběh optických vad)



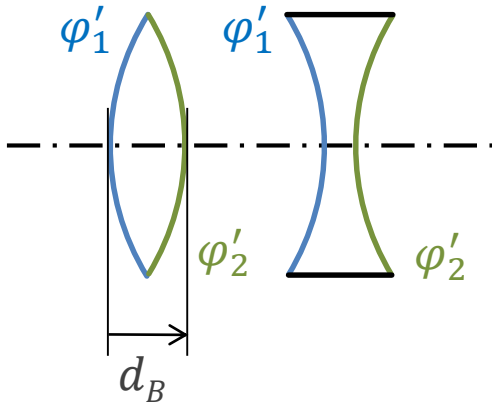
plankonvexní, plankonkávní čočka

- červeně vyznačeny základní plochy
- zeleně doplňkové plochy



periskopická čočka (základní plocha, báze  $\pm 1,25$  D)  
menisková (polomušlová) čočka ( $\pm 6$  D, příp.  $\pm 3$  D)  
mušlová čočka ( $\pm 8$  D)

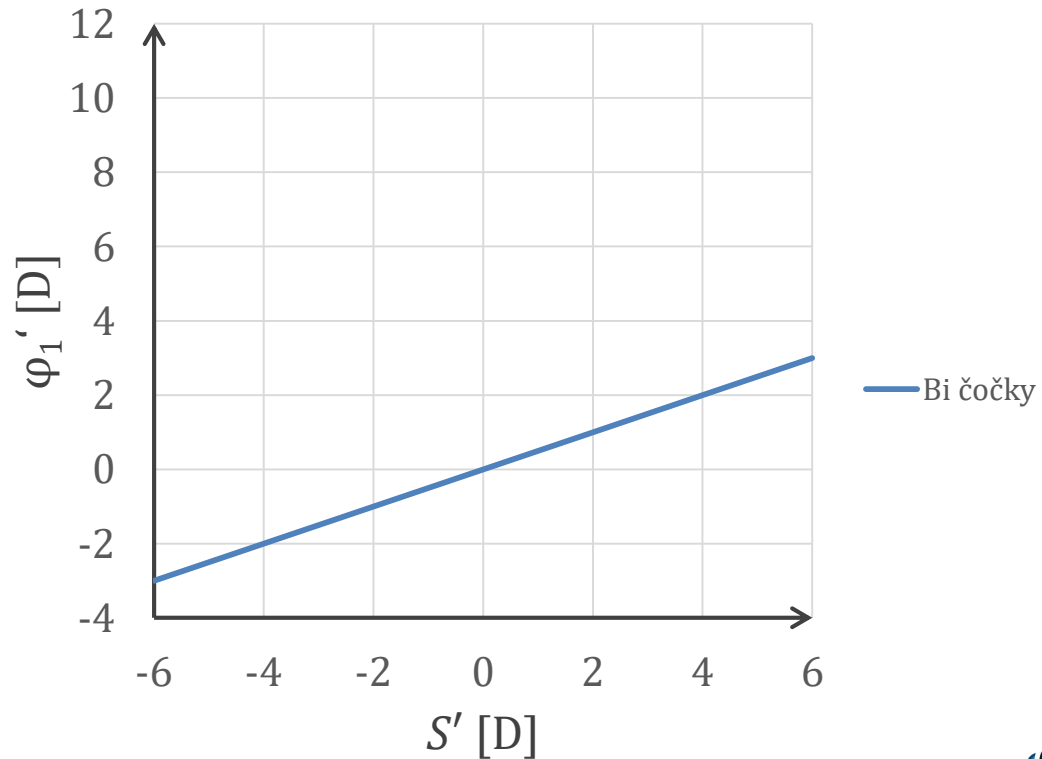
# Aproximace tenké čočky



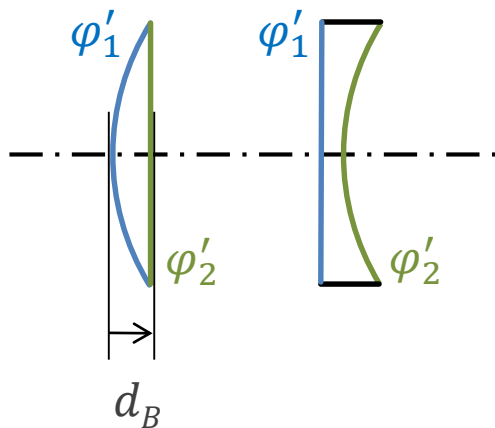
bikonvexní, bikonkávní čočka

$$d_B \rightarrow 0$$

$$S' \approx \varphi'_c \approx \varphi'_1 + \varphi'_2 = 2\varphi'_1$$



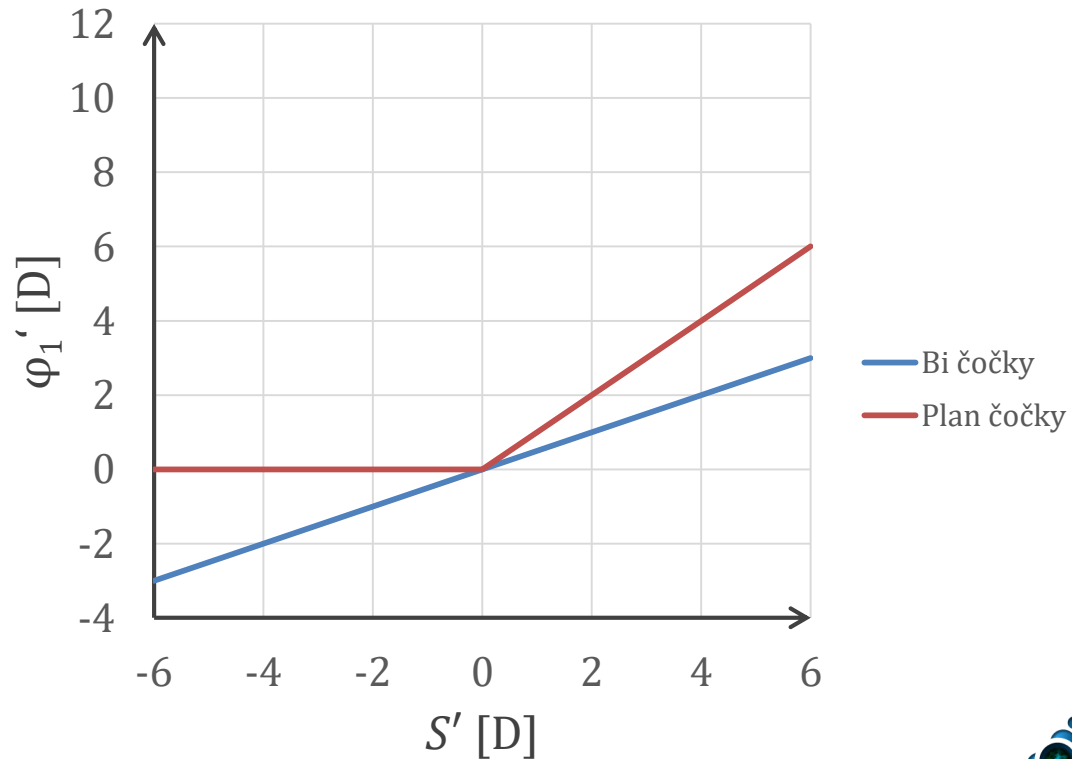
# Aproximace tenké čočky



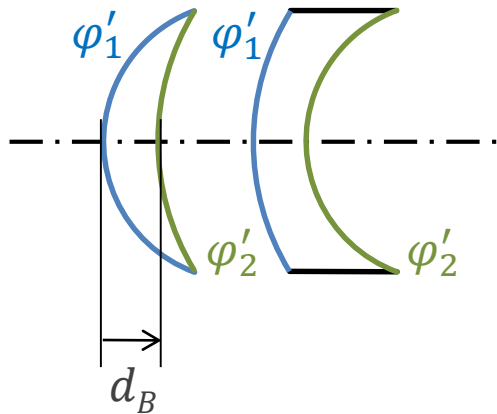
plankonvexní, plankonkávní čočka

$$d_B \rightarrow 0$$

$$S' \approx \varphi'_c \approx \begin{cases} \varphi'_1 & \text{(spojka)} \\ \varphi'_2 & \text{(rozptylka)} \end{cases}$$



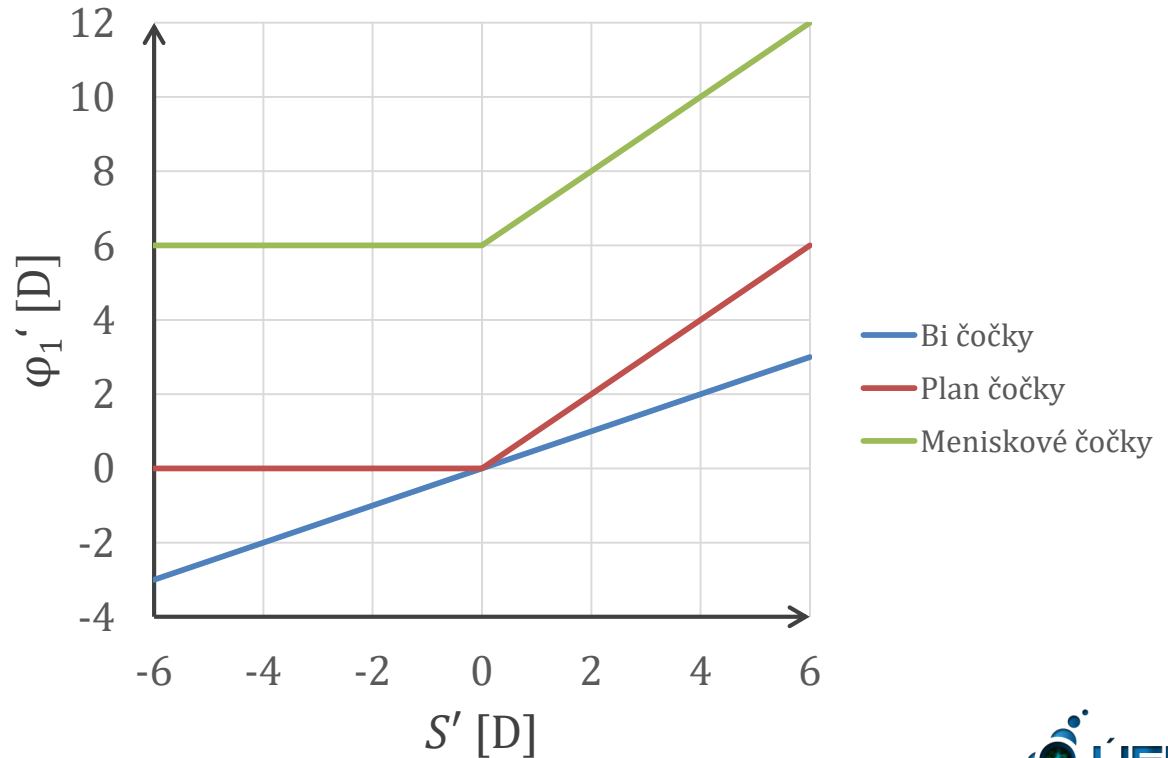
# Aproximace tenké čočky



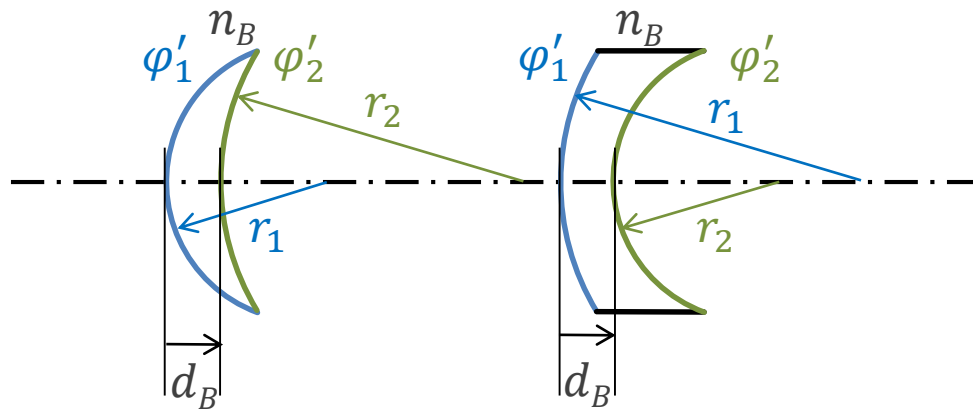
menisková (polomušlová) čočka ( $\pm 6 D$ )

$$d_B \rightarrow 0$$

$$S' \approx \varphi'_c \approx \begin{cases} \varphi'_1 - 6 D & \text{(spojka)} \\ 6 D + \varphi'_2 & \text{(rozptylka)} \end{cases}$$



# Přesné výpočty



$$\varphi'_1 = \frac{n_B - 1}{r_1} > 0$$

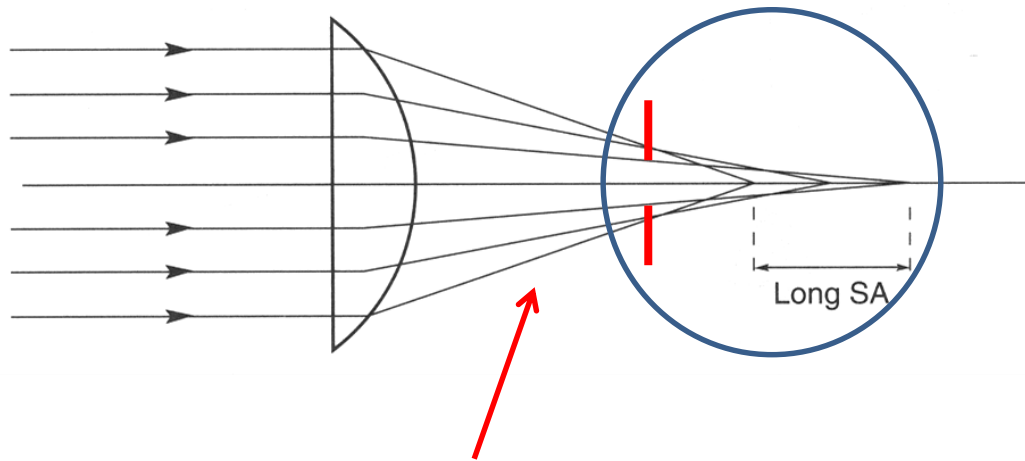
$$\varphi'_2 = \frac{1 - n_B}{r_2} < 0$$

$$\delta = \frac{d_B}{n_B}$$

vrcholová lámavost brýlové čočky:

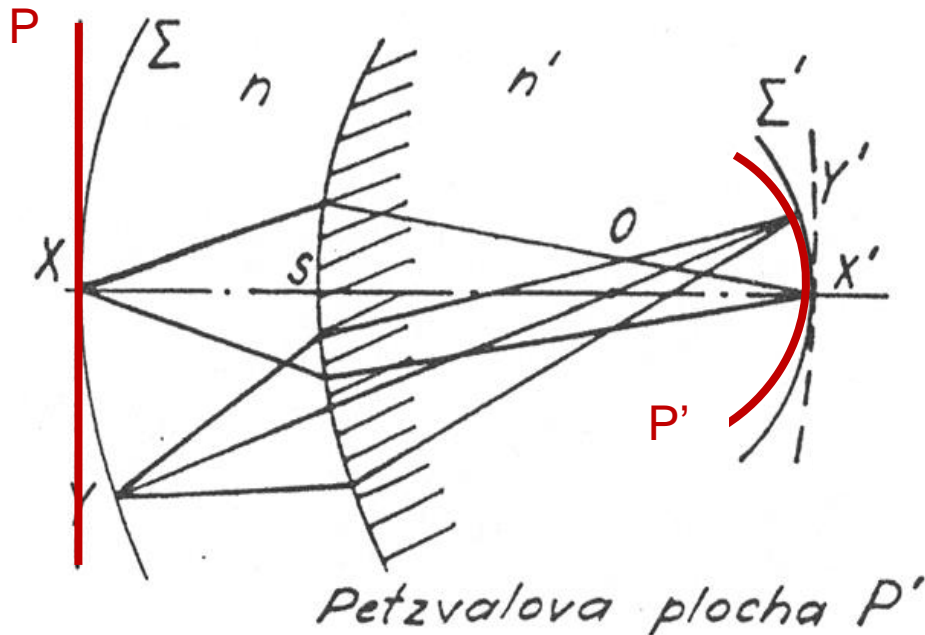
$$S' = \Gamma' \varphi'_c = \frac{\varphi'_1}{1 - \delta \varphi'_1} + \varphi'_2 = \varphi'_{1tč} + \varphi'_2$$

# Vady brýlové čočky



- **Otvorová vada a koma** se projevují málo, protože svazek je omezen relativně malou pupilou oka – zornicí.
- **Barevná vada** může být omezena vhodným výběrem materiálu čočky.
- **Periferní astigmatismus a sklenutí pole** jsou **podstatné**, jejich správná korekce zaručuje bodové zobrazování.

# Petzvalovo sklenutí pole

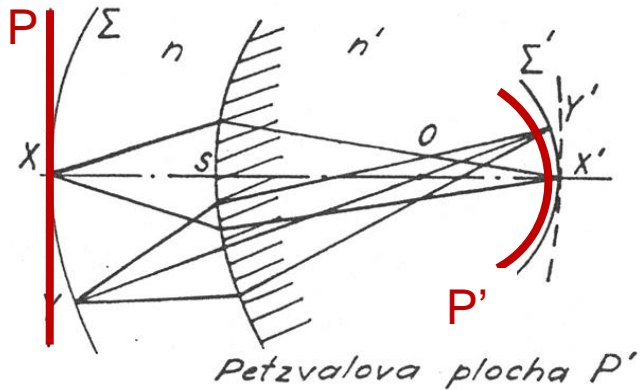


Joseph Petzval

1807 - 1891

- Při sklenutí pole jsou body rovinné předmětové plochy P ostře zobrazeny na sférickou (kulovou) plochu P', což je tzv. **Petzvalova plocha**.

# Poloměr Petzvalovy plochy



jedna lámavá plocha:      tenká čočka:

$$R_P = \frac{nr}{n - n'}$$

$$R_P = -nf'$$

Petzvalova suma pro  
soustavu tenkých čoček:

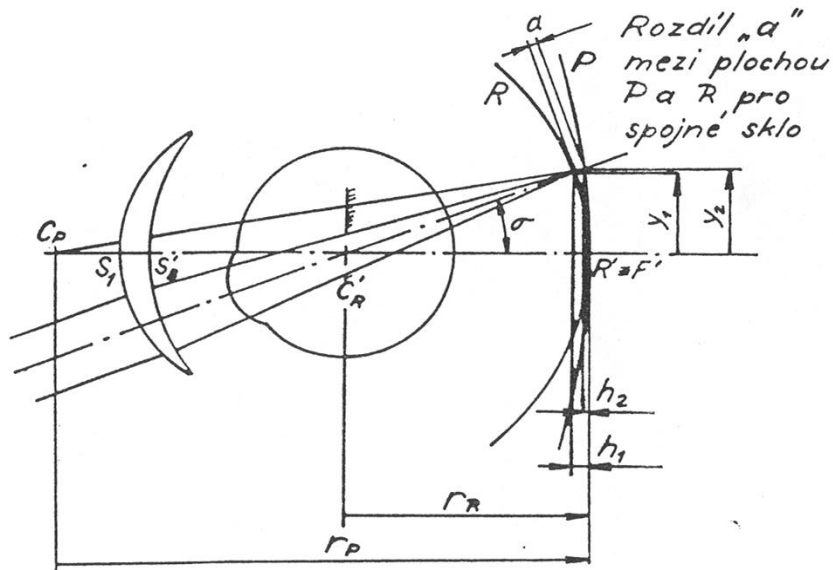
$$\frac{1}{R_P} = - \sum \frac{1}{n_i f_i'} = - \sum \frac{\varphi_i'}{n_i}$$

Petzvalova-Coddingtonova podmínka pro rovinné pole soustavy čoček:

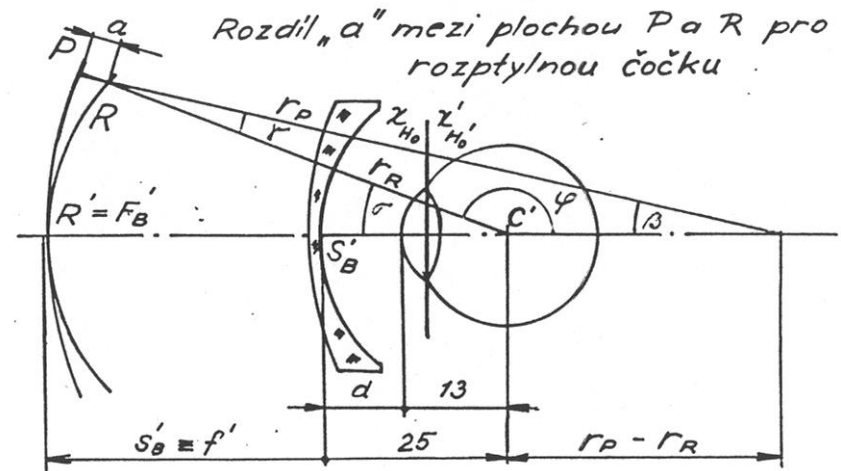
$$\frac{1}{R_P} = - \sum \frac{1}{n_i f_i'} = - \sum \frac{\varphi_i'}{n_i} = 0$$

# Sklenutí pole a otáčení oka

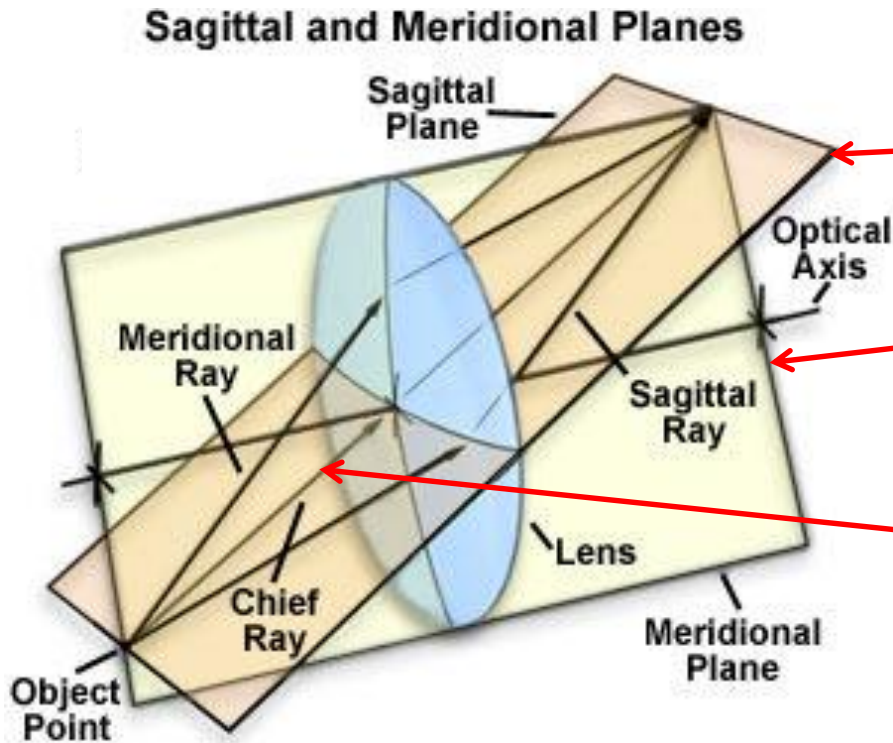
hypermetrop



myop



# Tangenciální a sagitální rovina



sagitální rovina

obsahuje hlavní paprsek, je kolmá na tangenciální rovinu

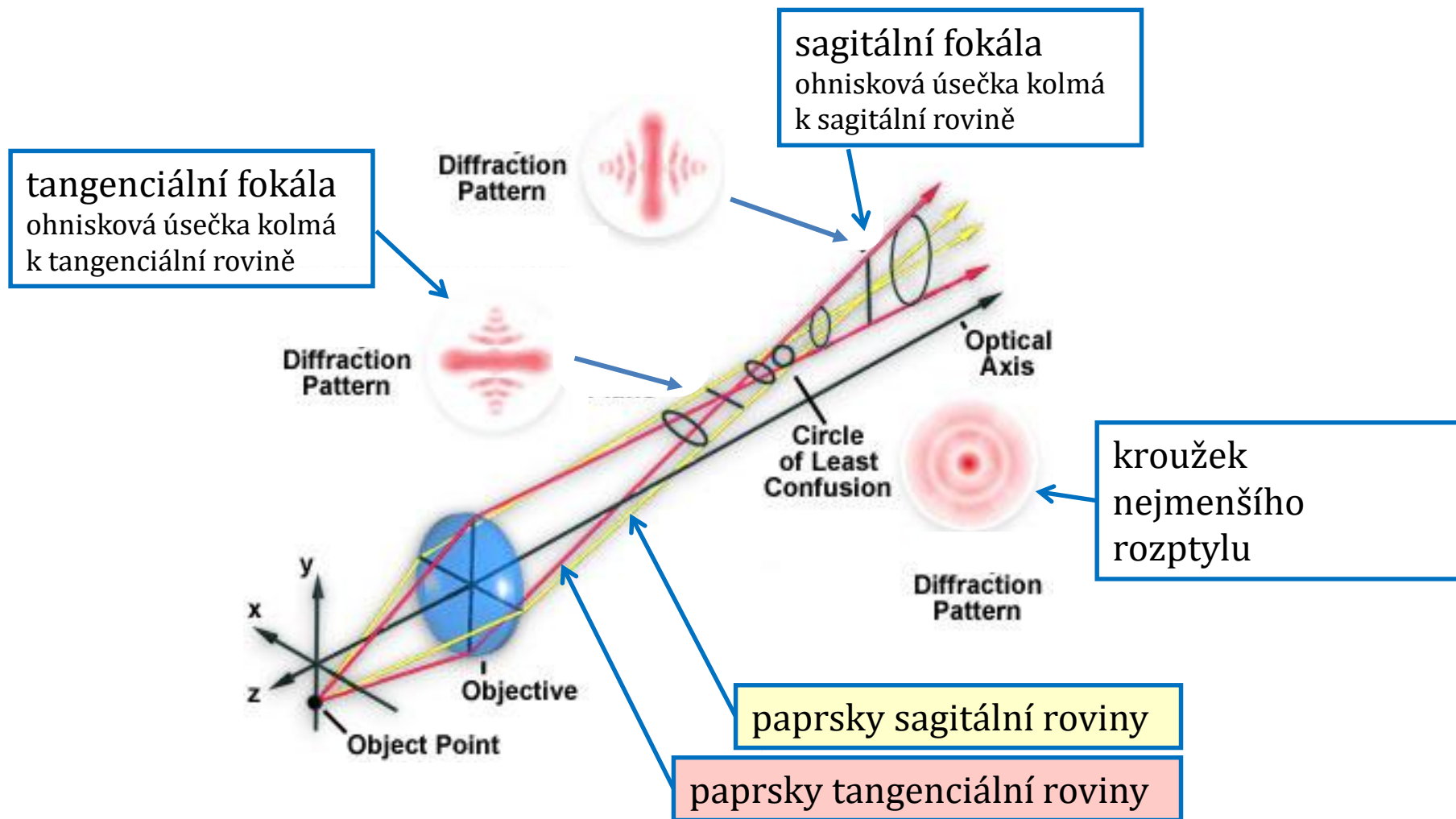
tangenciální (meridionální) rovina

obsahuje hlavní paprsek (tj. také předmětový bod) a optickou osu

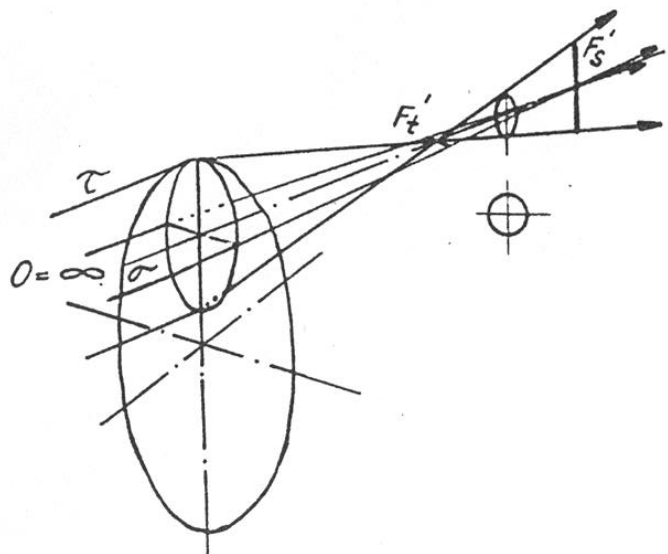
hlavní paprsek

prochází předmětovým bodem a středem pupily

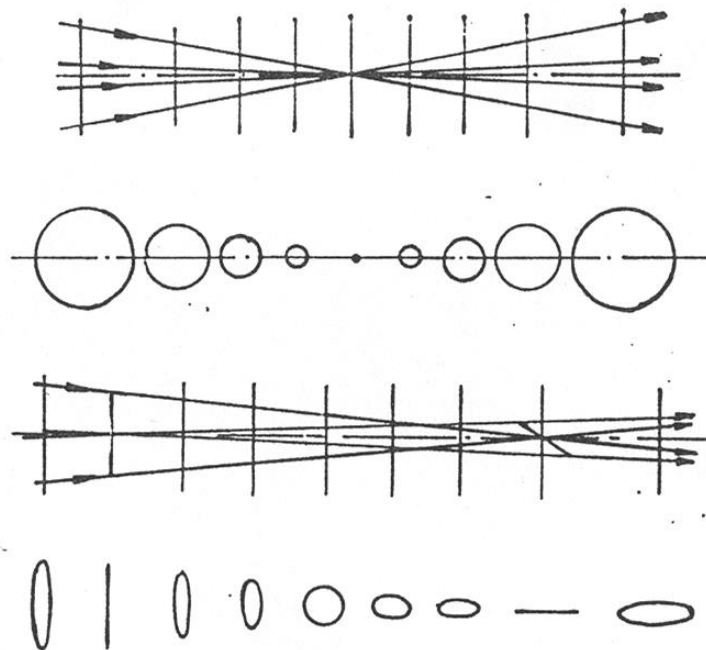
# Astigmatický svazek



# Astigmatický svazek



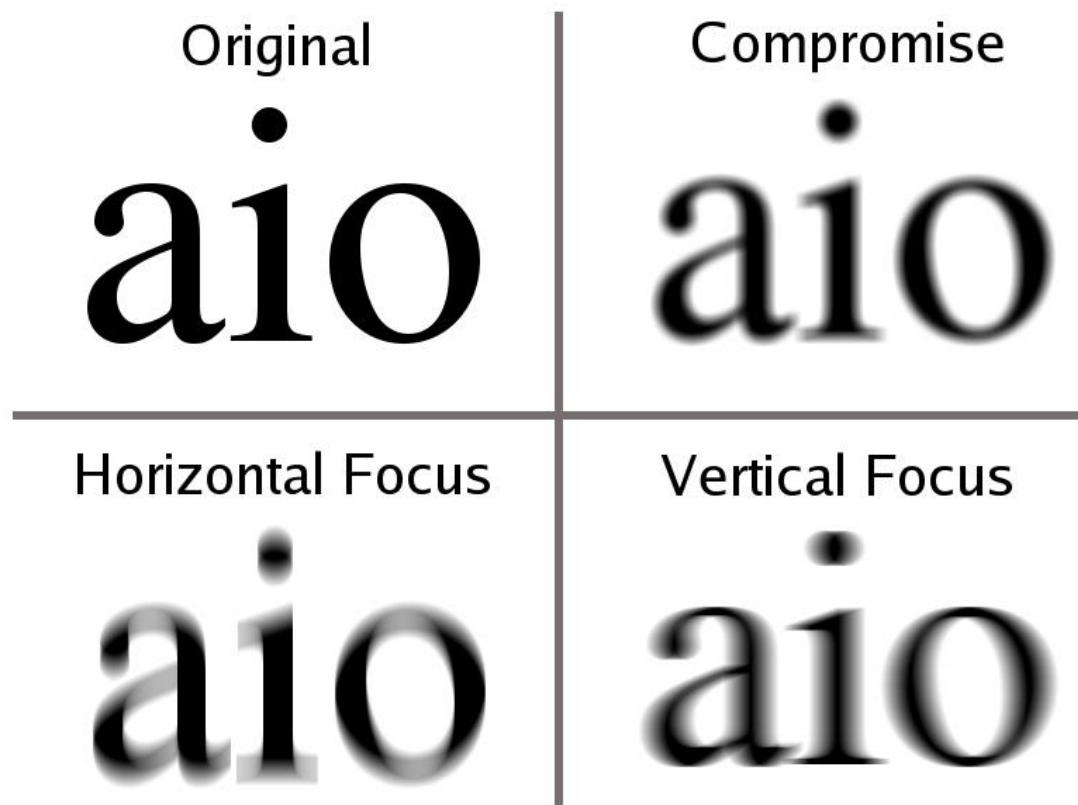
Fokály astigmatického svazku



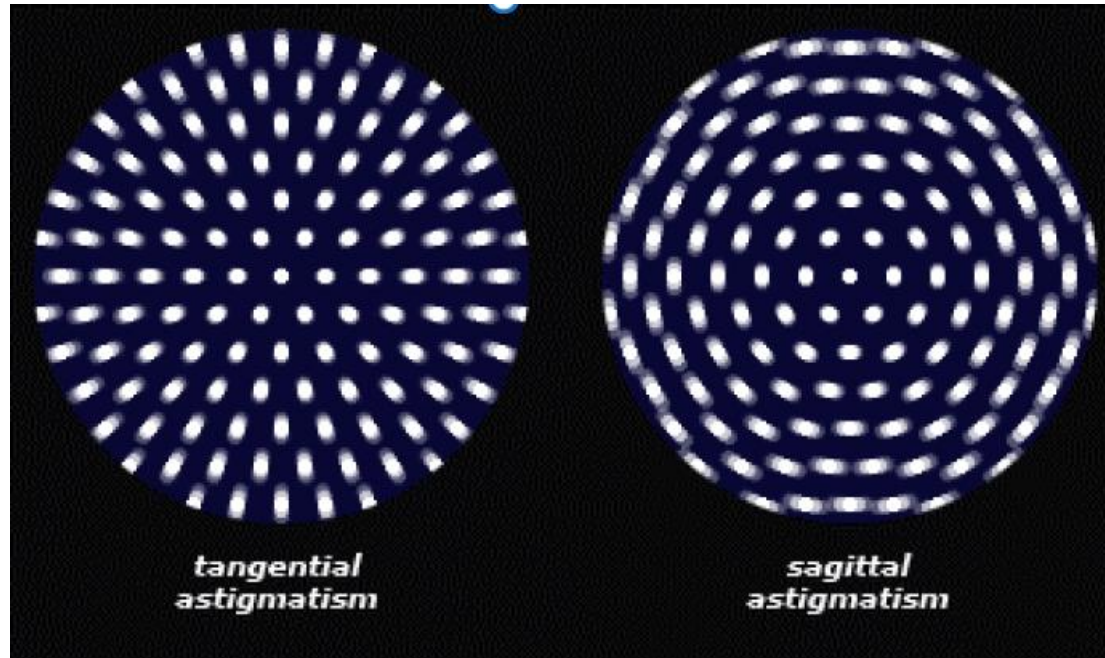
Ideální svazek paprsků

Astigmatický svazek paprsků

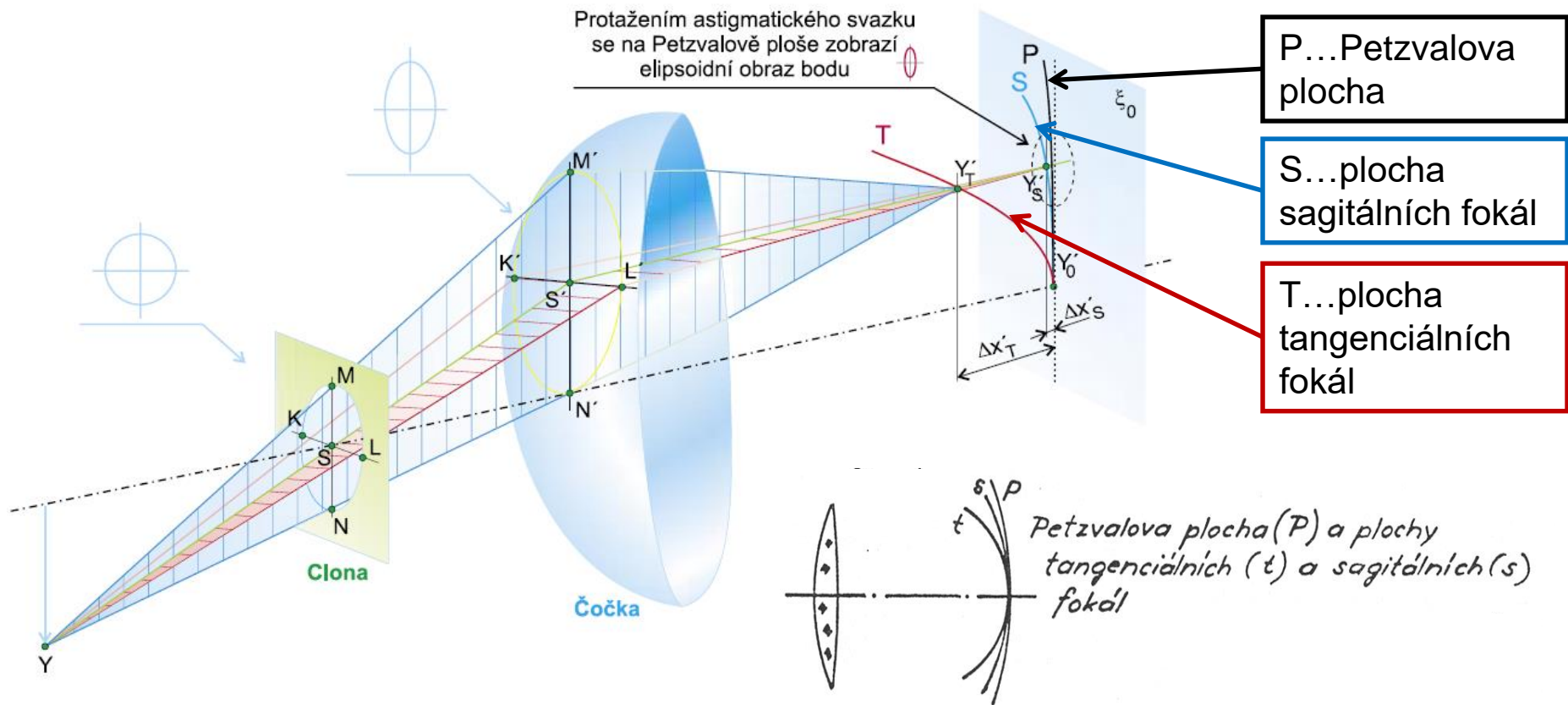
# Zobrazení astigmatickým svazkem



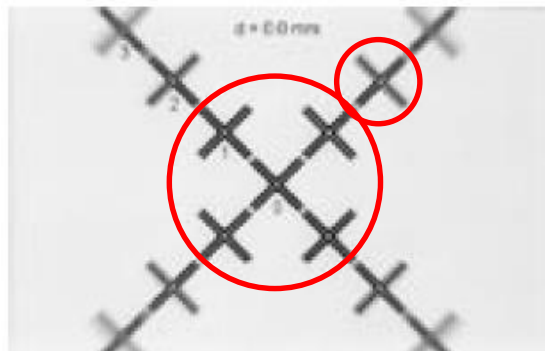
# Zobrazení astigmatickým svazkem



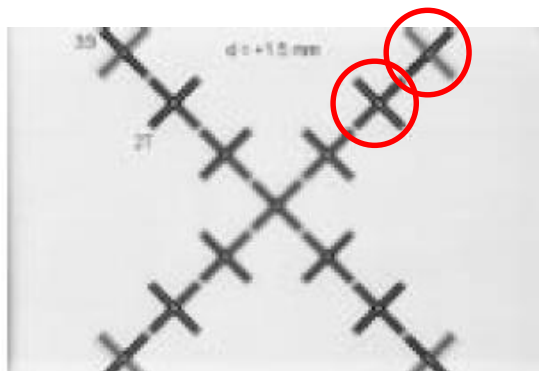
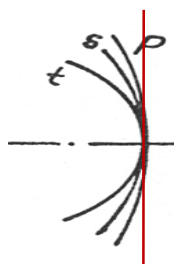
# Periferní astigmatismus čočky



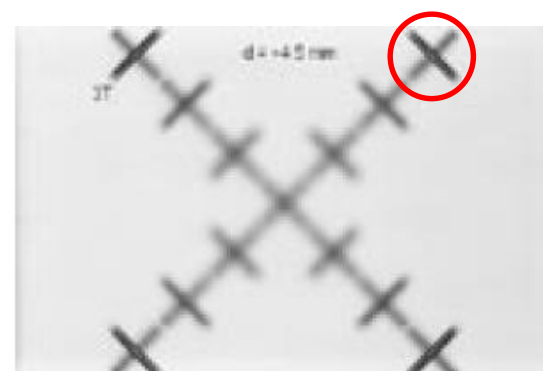
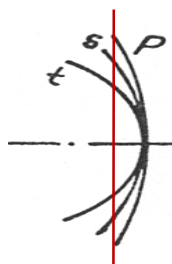
# Zobrazení astigmatickým svazkem



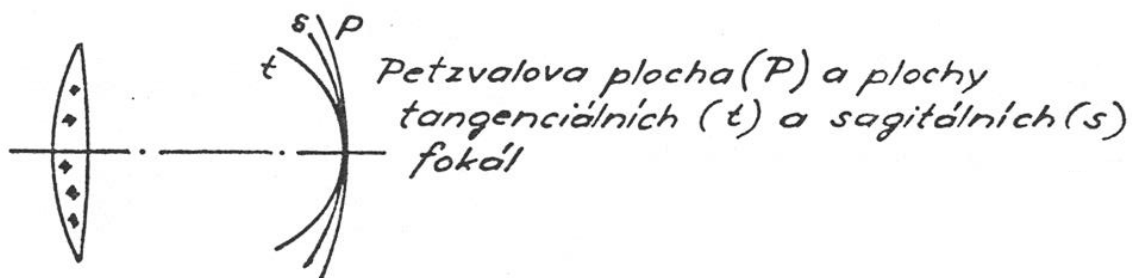
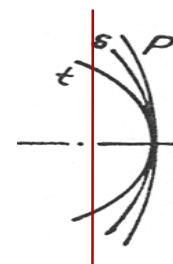
$d = 0$  mm  
(od ohniska k čočce)  
zaostřena centrální  
část a 2S čáry



$d = -1,5$  mm  
(od ohniska k čočce)  
centrální část rozostřena,  
zaostřeny 2T a 3S čáry



$d = -4,5$  mm  
(od ohniska k čočce)  
centrální část rozostřena,  
zaostřeny 3T čáry



# Korekce periferního astigmatismu



**William Hyde Wollaston** (1766-1828 ←) v roce 1804 prokázal, že zraková ostrost pozorovatele **klesá**, když se dívá přes **periferii** bikonvexních brýlových čoček. Současně zaznamenal, že skla ve tvaru menisku poskytují vyšší kvalitu vidění a navrhl sérii čoček s velkou křivostí, které zlepšovaly periferní vidění díky korekci periferního astigmatismu.

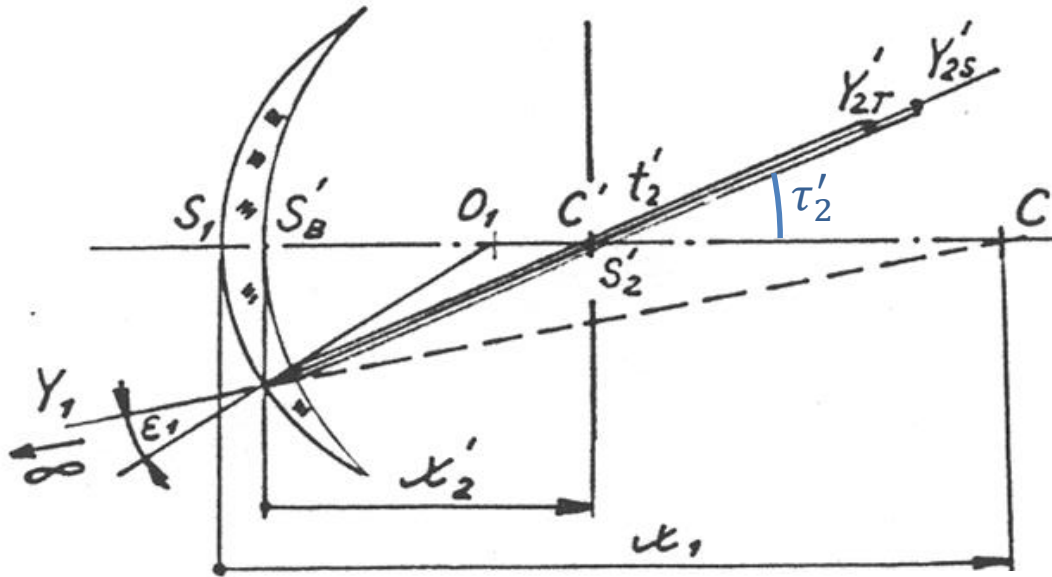
**Franz Ostwalt\*** (1862-1937, ) v roce 1898 navrhl sadu meniskových čoček s menšími křivostmi, které rovněž zmenšovaly periferní astigmatismus.

Návrhem čoček meniskového tvaru s korigovaným periferním astigmatismem se významně zabýval také **Marius Hans Erik Tscherning** (1854-1939, dánský optalmologista →).



\*Bývá zaměňován s Friedrichem Wilhelmem Ostwaldem, 1853-1932, slavným fyzikálním chemikem.

# Výpočet poloh fokál 1 (situace)

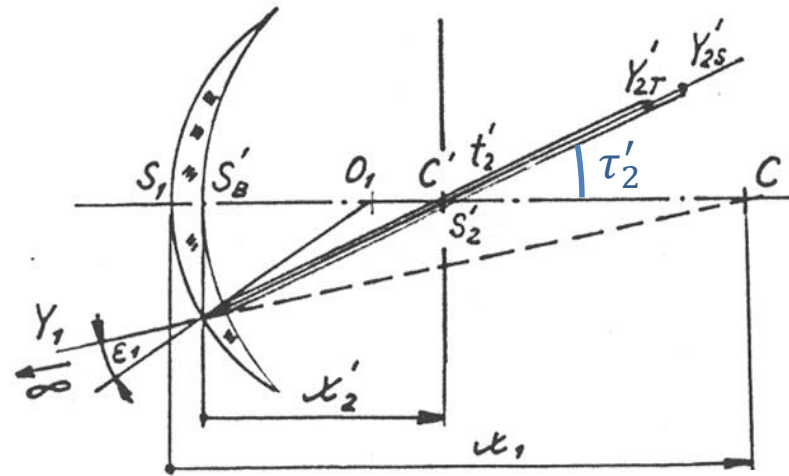


- $Y_1$  ... mimoosový předmětový bod v nekonečnu
- $Y'_{2T,S}$  ... jeho zobrazení paprsky v tangenciální, sagitální rovině (fokály)
- $t'_2, s'_2$  ... vzdálenosti fokál
- $C'$  ... střed otáčení oka s myšlenou clonou,  
jejímž středem prochází hlavní paprsek
- $x'_2$  ... vzdálenost  $C'$  od vrcholu zadní plochy brýlové čočky
- $\tau'_2$  ... úhel otočení oka

# Výpočet poloh fokál 2 (postup)

1. počítáme vzdálenosti fokál  $Y'_{2T,S}$  brýlové čočky
2. podmínka nulového periferního astigmatismu:  

$$Ast = \frac{1}{t'_2} - \frac{1}{s'_2} = 0$$
3. svazek omezen zornicí, která rotuje s okem, proto ji nahradíme myšlenou pevnou clonou umístěnou do středu  $C'$  otáčení oka
4. hlavní paprsek tudíž prochází bodem  $C'$ ; průběh paprsku odvodíme zpětným trasováním
5. vzdálenosti fokál vypočteme použitím **Coddingtonových rovnic** postupně pro první a druhou plochy čočky



**Coddingtonovy rovnice** jsou obdobou Gaussovy zobrazovací rovnice. Platí pro úzký svazek v okolí hlavního paprsku a mají odlišný tvar pro **tangenciální** a **sagitální** rovinu. Pro jednu plochu mají tvar:

$$\frac{n' \cos^2 \varepsilon'}{t'} = \frac{n \cos^2 \varepsilon}{t} + \frac{n' \cos \varepsilon' - n \cos \varepsilon}{r}$$

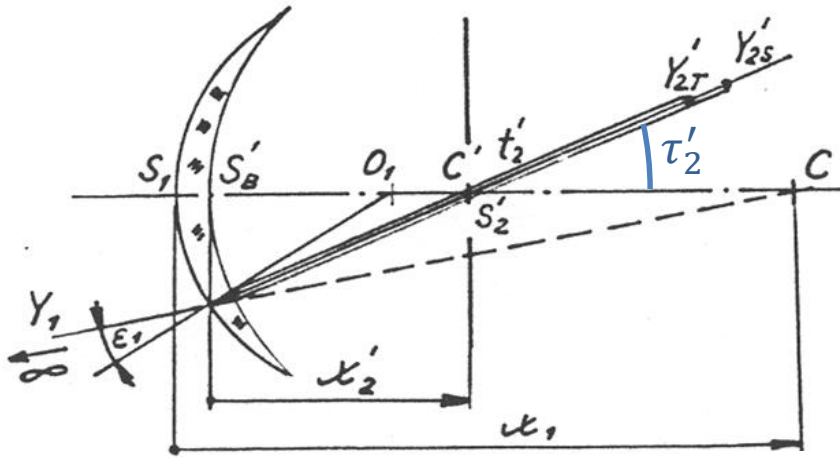
$$\frac{n'}{s'} = \frac{n}{s} + \frac{n' \cos \varepsilon' - n \cos \varepsilon}{r}$$

Gaussova zobrazovací rovnice (pro srovnání):

$$\frac{n'}{x'} = \frac{n}{x} + \frac{n' - n}{r}$$

( $\varepsilon, \varepsilon'$  ... úhel dopadu, resp. lomu hlavního paprsku)

# Podmínka nulového astigmatismu



$Y_1$	... předmětový bod v $\infty$
$Y'_{2T,S}$	... fokály
$t'_2 s'_2$	... vzdálenosti fokál
$C'$	... střed otáčení oka
$\tau'_2$	... úhel otočení oka

1. podmínka  $Ast = \frac{1}{t'_2} - \frac{1}{s'_2} = 0$  je splněna, právě když platí (aproximace tenké čočky):

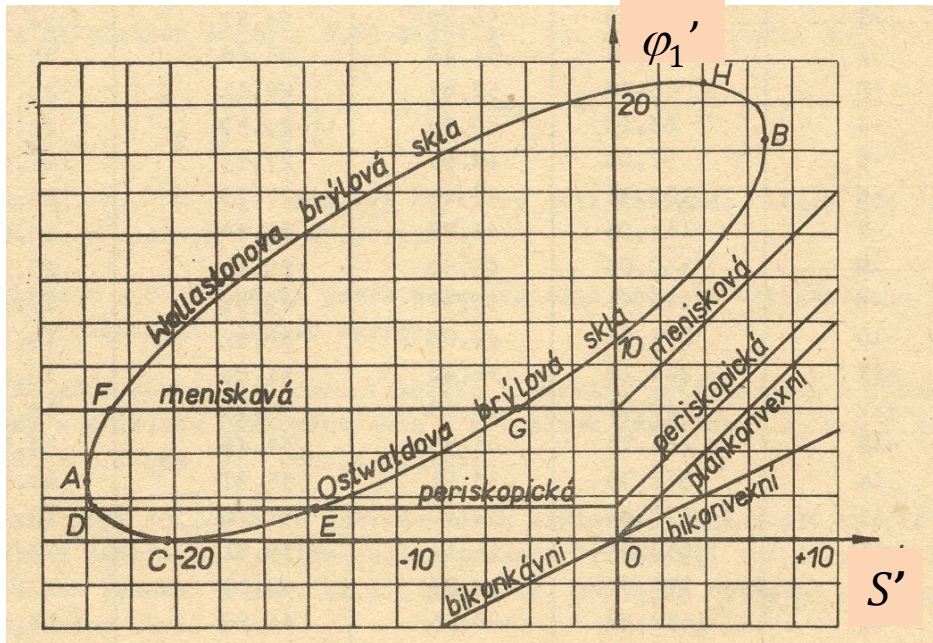
$$\varphi_1'^2(n+2) - \varphi_1' \left[ \varphi_C'(n+2) + \frac{2}{x_2'}(n^2-1) \right] + n \left( \varphi_C' + \frac{n-1}{x_2'} \right)^2 = 0$$

2. řešení této kvadratické rovnice pro  $n = 1,523$ ,  $x_2' = 25$  mm má tvar:

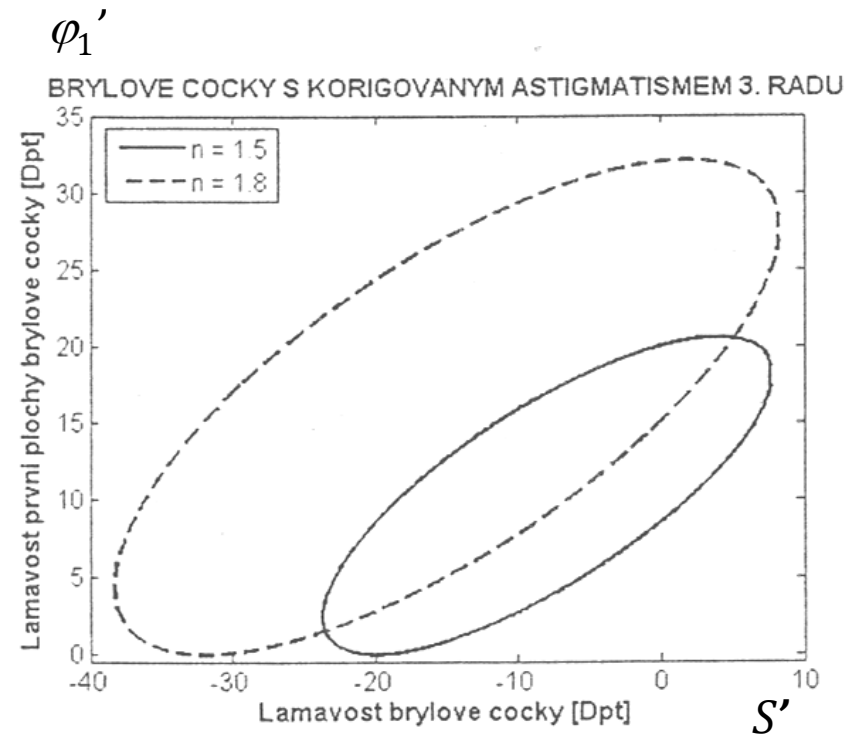
$$\varphi_1' = \frac{\varphi_C' + 29,78}{2} \pm \sqrt{\left( \frac{\varphi_C' + 29,78}{2} \right)^2 - 0,4318\varphi_C'^2 - 17,96\varphi_C' - 186,8}$$

3. Graficky je výsledek vyjádřen pomocí tzv. Tscheringovy elipsy →

# Tscherningova elipsa

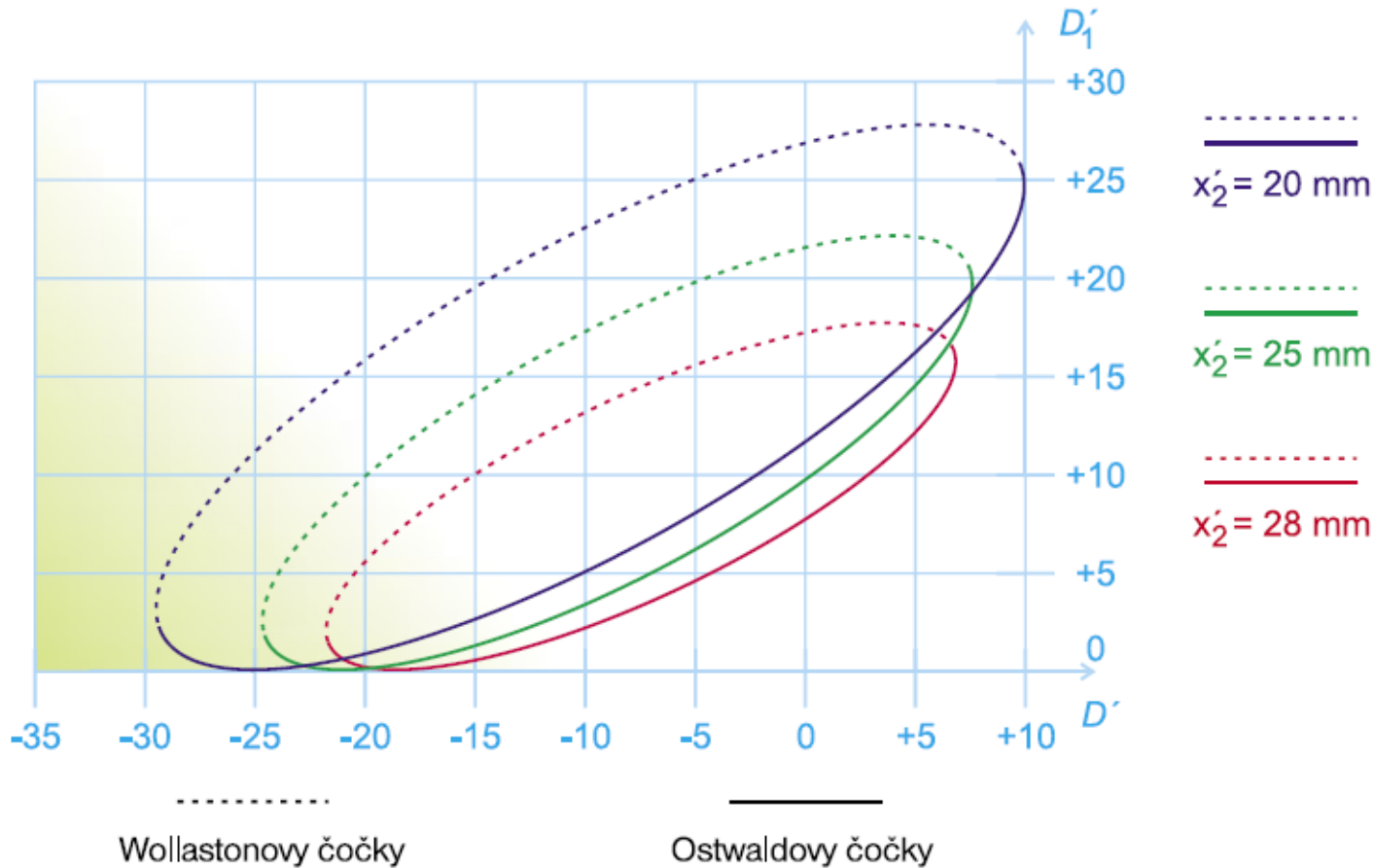


$$n = 1,523, x'_2 = 25 \text{ mm}$$



$$n = 1,5 / n = 1,8, x'_2 = 25 \text{ mm}$$

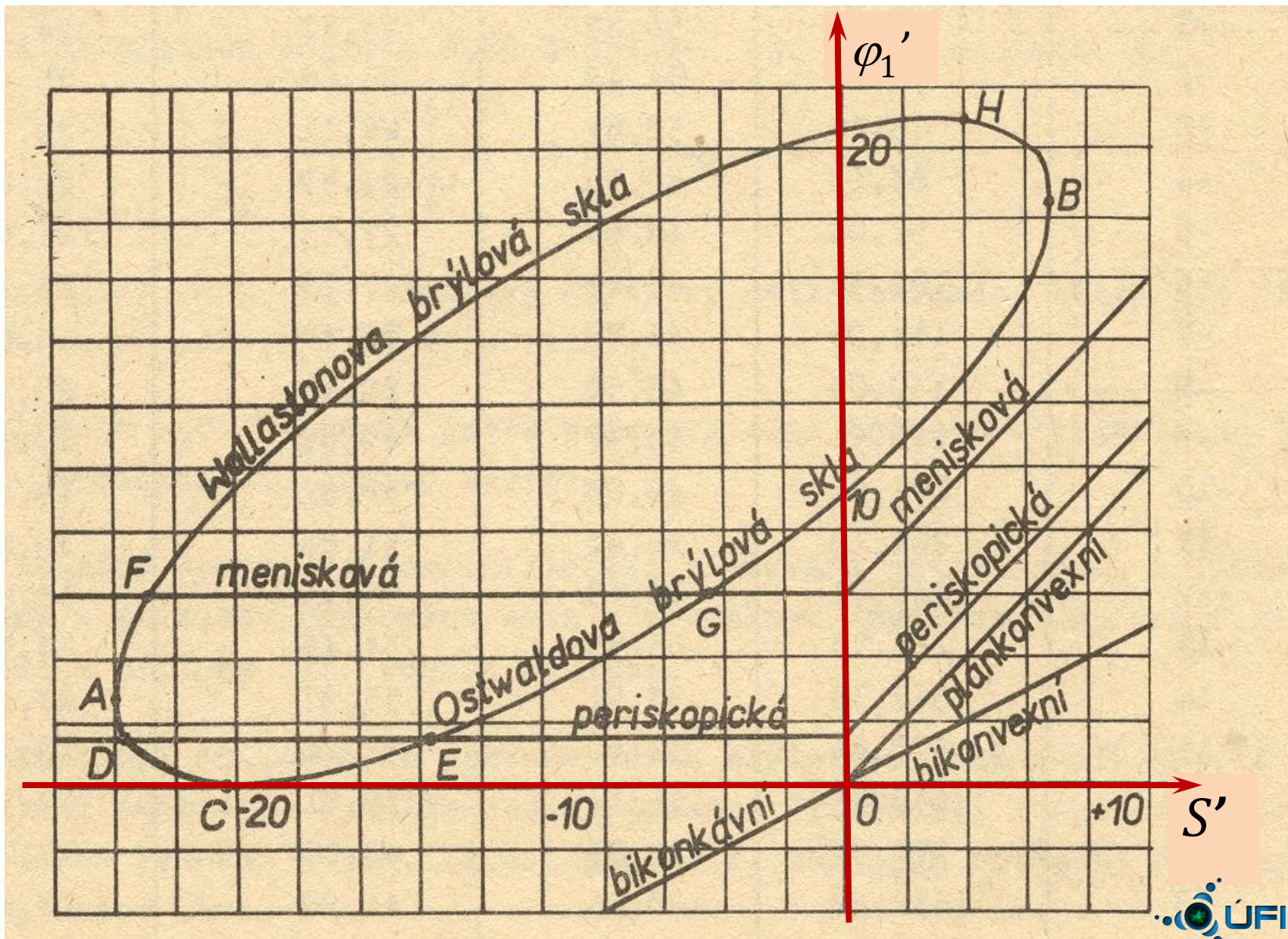
# Tscherningova elipsa



vzdálenost BČ od  
středu otáčení oka

# Oblasti řešení

$$n = 1,523, x'_2 = 25 \text{ mm}$$



# Poloměry křivosti ploch

S' [D]	Oswalt		Wollaston	
	1. řešení		2. řešení	
	r <sub>1</sub> mm	r <sub>2</sub> mm	r <sub>1</sub> mm	r <sub>2</sub> mm
7	32,01	55,99	25,36	38,39
6	35,32	59,37	24,72	34,61
5	38,49	60,89	24,47	31,94
4	41,78	61,29	24,39	29,98
3	45,27	61,16	24,43	28,41
2	49,06	60,39	24,52	27,09
1	53,22	59,25	24,74	25,97
0	57,83	57,83	24,99	24,99
-1	62,93	56,22	25,31	24,15
-2	68,84	54,49	25,68	23,38
-3	75,48	52,67	26,11	22,71
-4	83,13	50,82	26,59	22,09
-5	92,04	48,96	27,13	21,54
-6	102,51	47,11	27,73	21,04
-7	114,98	45,29	28,40	20,58
-8	130,03	43,50	29,15	20,17
-9	148,51	41,77	29,99	19,78
-10	171,63	40,09	30,92	19,43
-11	201,18	38,46	31,96	19,11
-12	240,01	36,89	33,13	18,82
-13	294,73	35,37	34,46	18,57
-14	367,35	33,91	35,97	18,33
-15	478,84	32,50	37,70	18,12
-16	658,21	31,14	39,71	17,93
-17	978,67	29,83	42,08	17,77
-18	1652,92	28,55	44,90	17,64
-19	3552,02	27,32	48,35	17,54
-20	14223,55	26,10	52,69	17,48
-21	261500,00	24,90	58,35	17,46
-22	8211,65	23,70	66,20	17,49
-23	1869,99	22,47	78,25	17,62
-24	664,41	21,10	86,07	17,99

Platí pro tenké brýlové čočky  
vzdálené 25 mm od bodu otáčení oka  
při pozorování vzdálených předmětů  
a pro malé úhly.

# Bodově zobrazující čočky (Carl Zeiss 1912)



Moritz von Rohr (1868-1940)

V roce 1912 propočítal design bodově zobrazujících čoček pro Carl Zeiss (Jena).

Tak začala výroba čoček (skel) „Punktal“.

## ZEISS PUNKTAL-GLÄSER

Durch das alte bikonvexe Brillenglas sieht man von der Mitte nach dem Rande zunehmend schlechter

Durch das ZEISS-Punktalglas sieht man von der Mitte bis zum Rande gleich gut

Druckschrift „Opto 55“ kostenlos

BERLIN HAMBURG **CARL ZEISS JENA** WIEN Buenos Aires

## ZEISS PUNKTAL-GLÄSER

Punktuell abbildende Brillengläser für Kurz- u. Weitsichtigkeit u. Astigmatismus.

Altes bikonvexes Brillenglas	Neues Punktalglas von CARL ZEISS, Jena
0°	0°
10°	10°
20°	20°
30°	30°

Diese Bilder werden wahrgenommen bei einer Ablenkung der Blickrichtung um 10°, 20°, 30° von der Achse

**Deutliche Abbildung**  
bei jeder Blickrichtung von der Mitte bis zum Rande des Glases.

**Ausnutzung der natürlichen Beweglichkeit des Auges.**

Brillen mit Zeiss-Punktalgläsern sind ohne Mechanismus als Schiessbrillen verwendbar.

Nur durch Optiker zu beziehen.

**CARL ZEISS JENA**

Prospekt Opto 17 kostenfrei.

BERLIN · HAMBURG · WIEN · BUENOS AIRES

3

# Korekce astigmatismu pro tlusté brýlové čočky

Podmínka pro korekci periferního astigmatismu vyjádřená Tscherningovou elipsou byla odvozena pro:

- tenkou čočku
- předmět v nekonečnu
- malé úhly

$$Ast = \frac{1}{t'_2} - \frac{1}{s'_2} = 0$$

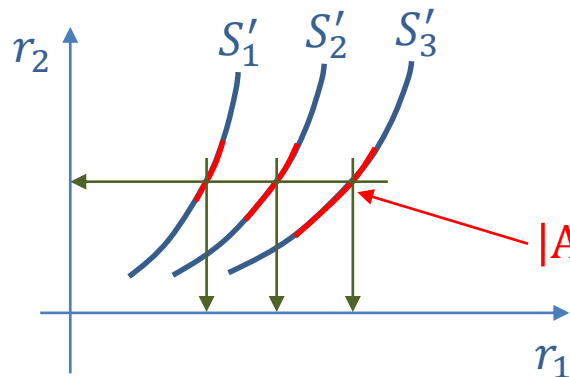
Postup návrhu **tlustých bodově zobrazujících čoček**:

1. výchozí poloměry křivosti  $r_1, r_2$  se vypočtou pro tenkou čočku
2. numerickým trasováním paprsků se sleduje astigmatismus šikmých svazků pro navrhovanou tlustou čočku, požadovaný úhel  $\tau'_2$  natočení oka (například  $30^\circ$ ) a požadovanou polohu předmětu
3. poloměry křivosti se mírně upravují s cílem dosáhnout hodnoty astigmatismu  $|Ast| = \left| \frac{1}{t'_2} - \frac{1}{s'_2} \right| \leq 0,05 D$  – pro tuto hodnotu má rozptylová elipsa na sítnici úhlovou velikost pod  $1'$ , tj. vidíme ji jako bod

# Princip návrhu **tlustých** bodově zobrazujících čoček

Prakticky se sjednocují mohutnosti první či druhé plochy pro několik sousedních hodnot  $S'$ :

1. pro zadané  $S'$  se numericky stanoví **oblast** (hodnoty  $r_1, r_2$ ), na které platí  $|Ast| \leq 0,05 D$



$$r_2 = r_2(r_1, S', n_B, d_B, \dots) \approx \frac{r_1}{1 - S' \frac{r_1}{n_B - 1}}$$

2. pak se zvolí hodnota jednoho z poloměrů křivosti (například  $r_2$ ), která protíná všechny zvolené toleranční oblasti a pro tuto hodnotu se dopočítají potřebné hodnoty  $r_1$  odpovídající požadované  $S'$

# Příklad českých čoček – „skupinová skla“

Charakteristické parametry skupinových skel čs. výroby

Vrcholová lámavost A' [dpt]	Optická mohutnost základní plochy D <sub>2</sub> resp. D <sub>1</sub> [dpt]	Optická mohutnost doplňkové (vofici) plochy [dpt]	Seřadová tloušťka d [mm]
S <sub>B</sub> 0,00	φ <sub>2</sub> D <sub>1</sub> = -6,00 dpt	φ <sub>1</sub> +5,95	d 1,8
+0,25		+6,20	1,8
+0,50		+6,44	2,0
+0,75		+6,68	2,1
+1,00		+6,93	2,2
+1,25		+7,17	2,3
+1,50		+7,41	2,4
+1,75		+7,65	2,5
+2,00		+7,89	2,6
+2,25		+8,13	2,7
+2,50		+8,36	2,8
+2,75		+8,60	2,9
+3,00		+8,84	3,0
+3,25		+9,07	3,1
+3,50		+9,20	3,3
+3,75		+9,54	3,4
+4,00		+9,67	3,6
+4,50		+10,23	3,8
+5,00	+10,69	4,0	
+5,50	+11,13	4,4	
+6,00	+11,57	4,7	
+6,50	+12,04	4,6	
+7,00	+12,46	5,0	
+7,50	+12,89	5,3	
+8,00	+13,31	5,6	
+8,50	+13,77	5,5	
+9,00	D <sub>1</sub> = -4,00 dpt	+12,40	5,6
+9,50		+12,82	5,9
+10,00		+13,24	6,2
+10,50		+13,66	6,4
+11,00		+14,15	6,3
+11,50		+14,54	6,4
+12,00		+14,92	6,8
+12,50		+15,30	7,2
+13,00		+15,60	7,6
+13,50		+16,03	8,0
+14,00	+16,38	8,3	
+14,50	+16,72	8,8	
+15,00	D <sub>1</sub> = -3,00 dpt	+16,38	8,3
+15,50		+16,72	8,8
+16,00		+17,05	9,1
+17,00		+17,72	9,8
+18,00		+18,50	9,8
+19,00	D <sub>2</sub> = -1,00 dpt	+17,55	10,6
+20,00		+18,18	11,2

(pokračování)

Vrcholová lámavost A' [dpt]	Optická mohutnost základní plochy D <sub>2</sub> resp. D <sub>1</sub> [dpt]	Optická mohutnost doplňkové (vofici) plochy [dpt]	Seřadová tloušťka d [mm]
S <sub>B</sub> -0,25	φ <sub>1</sub> D <sub>1</sub> = +6,00 dpt	φ <sub>2</sub> -6,29	d 1,7
-0,50		-6,53	1,6
-0,75		-6,78	1,5
-1,00		-7,03	1,4
-1,25		-7,28	1,3
-1,50		-7,52	1,2
-1,75		-7,77	1,2
-2,00		-8,02	1,1
-2,25		-8,27	1,1
-2,50		-8,52	1,1
-2,75		-8,77	1,0
-3,00		-9,02	0,9
-3,25		-9,26	0,8
-3,50		-9,51	0,8
-3,75		-9,76	0,8
-4,00	D <sub>1</sub> = +4,50 dpt	-8,51	0,8
-4,50		-9,01	0,8
-5,00		-9,51	0,8
-5,50		-10,00	0,7
-6,00		-10,50	0,7
-6,50	D <sub>1</sub> = +3,00 dpt	-9,52	0,7
-7,00		-10,02	0,7
-7,50		-10,52	0,6
-8,00		-11,02	0,6
-8,50		-11,52	0,5
-9,00	-12,02	0,5	
-9,50	D <sub>1</sub> = +2,00 dpt	-11,52	0,5
-10,00		-12,02	0,5
-10,50		-12,51	0,5
-11,00		-13,02	0,5
-11,50		-13,52	0,5
-12,00	D <sub>1</sub> = +1,00 dpt	-13,02	0,5
-12,50		-13,51	0,5
-13,00		-14,01	0,5
-13,50		-14,50	0,5
-14,00		-15,00	0,5
-14,50		-15,50	0,5
-15,00		-16,00	0,5
-15,50		-16,50	0,5
-16,00	D <sub>1</sub> = 0,00 dpt	-16,00	0,5
-17,00		-17,00	0,5
-18,00		-18,00	0,5
-19,00		-19,00	0,5
-20,00		-20,00	0,5

# Příklad českých čoček – Diosfer, Punktur

autoři využili počítačací stroje a podrobně zhodnotili vliv tloušťky i křivosti skel s ohledem na optimální návrh při pozorování různých vzdálených předmětů. Kompromisem mezi konvenční vzdáleností do blízka (250 mm) a do dálky ( $\infty$ ) dospěli k brýlovým sklům s minimálním astigmatismem. Tato skla vyrábí n. p. Dioptra – Turnov pod názvem DIOSFER (tabulka 1.13).

Skutečnost, že jde o bodově zobrazující brýlová skla, zdůrazňují někteří výrobci, v jejich názvu (C. Zeiss: PUNCTAL, Dioptra: PUNKTUR; punctum (lat.) = bod). Některé parametry skel zn. PUNKTUR jsou uvedeny v tabulce 1.14.

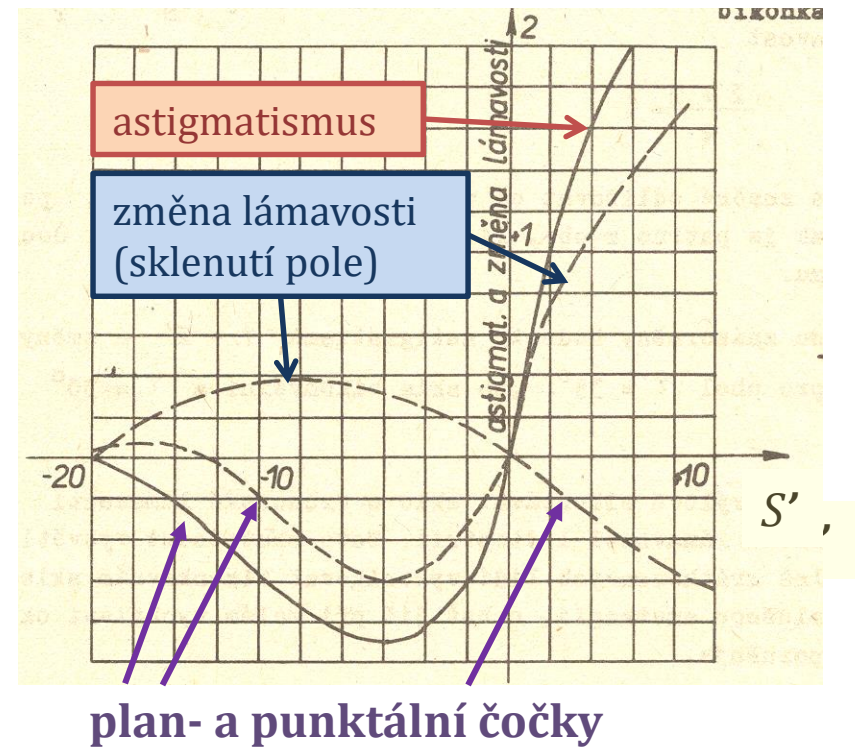
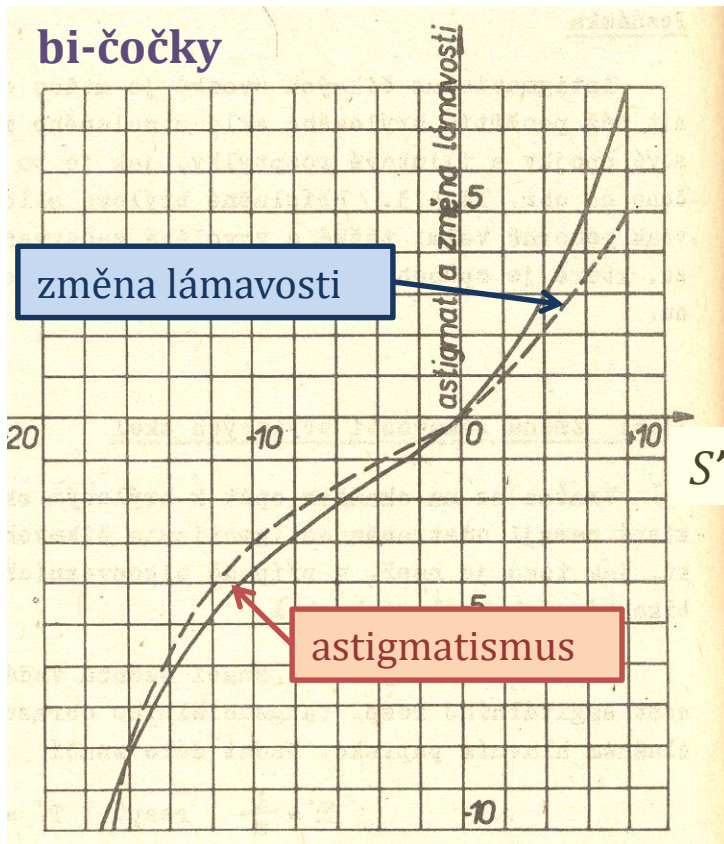
Charakteristické parametry čs. brýlových skel DIOSFER

Vrcholová lámavost $K'$ [dpt]	Optická mohutnost vypuklé plochy $D_1$ [dpt]	Optická mohutnost duté plochy $D_2$ [dpt]	Středová tloušťka $d$ [mm]
$S_1^+$ $S_2^+$ 0,00	$\varphi_1^+$ +5,95	$\varphi_2^+$	$d$ 2,0
+0,25	+6,20	-6,00	2,1
+0,50	+6,45		2,2
+0,75	+6,70		2,3
+1,00	+6,95		2,4
+1,25	+7,19		2,6
+1,50	+7,44		2,7
+1,75	+7,65		2,8
+2,00	+7,92		2,9
+2,25	+8,13		3,0
+2,50	+8,38		3,2
+2,75	+8,63		3,3
+3,00	+8,86		3,4
+3,25	+9,10		3,5
+3,50	+9,34		3,7
+3,75	+9,57		3,8
+4,00	+9,81		4,0
-0,25	+6,00	-6,30	1,7
-0,50		-6,55	1,6
-0,75		-6,80	1,5
-1,00		-7,05	1,5
-1,25	+5,50	-6,80	1,4
-1,50		-7,05	1,3
-1,75		-7,30	1,3
-2,00		-7,55	1,2
-2,25	+5,00	-7,30	1,2
-2,50		-7,55	1,1
-2,75		-7,79	1,0
-3,00		-8,04	1,0
-3,25	+4,50	-7,79	1,0
-3,50		-8,04	1,0
-3,75		-8,28	1,0
-4,00		-8,53	1,0

Charakteristické parametry čs. bodově zobrazujících skel PUNKTUR

Vrcholová lámavost $K'$ [dpt]	Optická mohutnost vypuklé plochy $D_1$ [dpt]	Optická mohutnost duté plochy $D_2$ [dpt]	Středová tloušťka $d$ [mm]	
$S_1^+$ $S_2^+$ +0,25	$\varphi_1^+$ +6,355	$\varphi_2^+$	$d$ 1,8	
+0,50	+6,601	-6,153	1,8	
+0,75	+6,844		1,9	
+1,00	+7,077		2,0	
+1,25	+7,327		2,1	
+1,50	+7,569		2,2	
+1,75	+7,809		2,3	
+2,00	+8,759		-6,882	2,4
+2,25	+8,997			2,5
+2,50	+9,234	2,6		
+2,75	+9,464	2,8		
+3,00	+9,687	3,1		
+3,25	+9,926	3,1		
+3,50	+10,159	3,2		
+3,75	+10,391	3,3		
+4,00	+10,617	3,5		
+4,50	+11,308	-7,164		4,1
+5,00	+11,472		4,5	
+5,50	+12,168		4,9	
+6,00	+12,599		5,2	
-0,25	+6,173	-7,449	1,6	
-0,50		-7,736	1,5	
-0,75		-7,990	1,4	
-1,00		-8,232	1,3	
-1,25		-8,444	1,1	
-1,50		-8,699	1,0	
-1,75		-8,963	0,9	
-2,00		-9,214	0,9	
-2,25		-8,444	0,9	
-2,50		-8,699	0,9	
-2,75		-8,963	0,9	
-3,00		-9,214	0,9	
-3,25		-9,473	0,9	
-3,50		-9,694	0,8	
-3,75		+5,451	-9,214	0,8
-4,00			-9,473	0,7
-4,50	-9,966		0,7	
-5,00	+4,705	-9,694	0,6	
-5,50		-10,197	0,6	
-6,00		-10,728	0,6	

# Astigmatismus a sklenutí pole



$Ast = \frac{1}{t'_2} - \frac{1}{s'_2} \dots$  **astigmatismus** (rozdíl vergencí vzdáleností tangenciální a sagitální fokály)

$PE = \frac{1}{2} \left( \frac{1}{t'_2} + \frac{1}{s'_2} \right) - S' \dots$  **změna (odchylka) lámavosti** (rozdíl vergence vzdálenosti kroužku nejmenšího rozptylu a vrcholové lámavosti)

# Další filozofie designu brýlových čoček

## Percivalovo řešení

Archibald Stanley Percival (anglický ophthalmologista) navrhl roku 1901 jiné řešení pro periferní vady brýlové čočky – nekorigoval periferní astigmatismus, ale navrhl čočky, které **vytvářely kroužek nejmenšího rozptylu (KNR) na sféře dalekého bodu oka.**

- vznikly čočky s periferním astigmatismem, ale bez odchylky lámavosti
- nevýhody:
  - nerovnoměrné osvětlení KNR
  - Percivalova podmínka je podstatně přísnější na dodržení konstrukčních parametrů (vzdálenost plochy od oka, předmětová vergence)
  - akomodace oka vede ke ztrátě rotační symetrie stopy
- proto ve 20. století navrhovány zejména punktální čočky

## Čočky s minimální tangenciální vadou

Čočka, jejíž plocha tangenciálních fokál koinciduje se sférou dalekého bodu:

- poměrně malý astigmatismus
- stabilní vzhledem k předmětové vergenci a ke vzdálenosti brýlové čočky od oka (při vzdalování se chová jako punktální, při přibližování jako Percivalova)

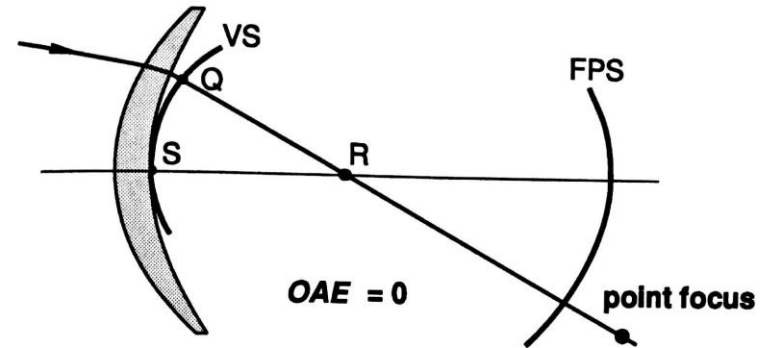
# Moderní design

Moderní čočky jsou navrhovány jako kompromis z hlediska:

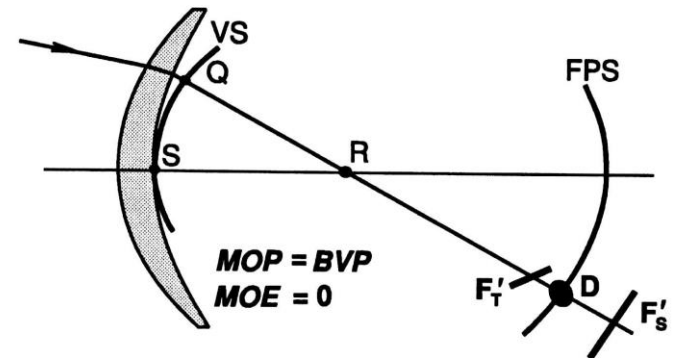
- korekce astigmatismu a sklenutí
- vidění do dálky a do blízka
- rozsahu korigovaného pole
- výrobní tolerance indexu lomu
- váhy a vzhledu čoček

Požaduje se rovněž korekce **zkreslení** a **příčné barevné vady**.

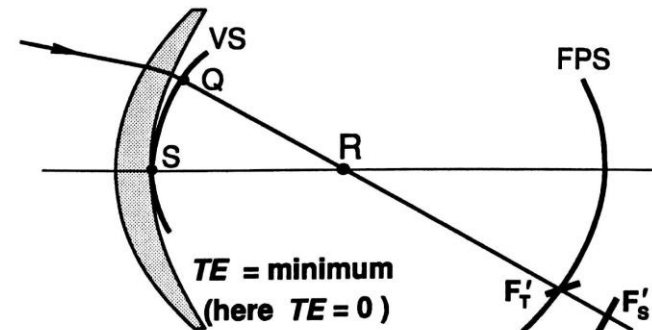
(a) Point Focal Form



(b) Periclival Form



(c) Minimum Tangential Error Form



# Asférické plochy

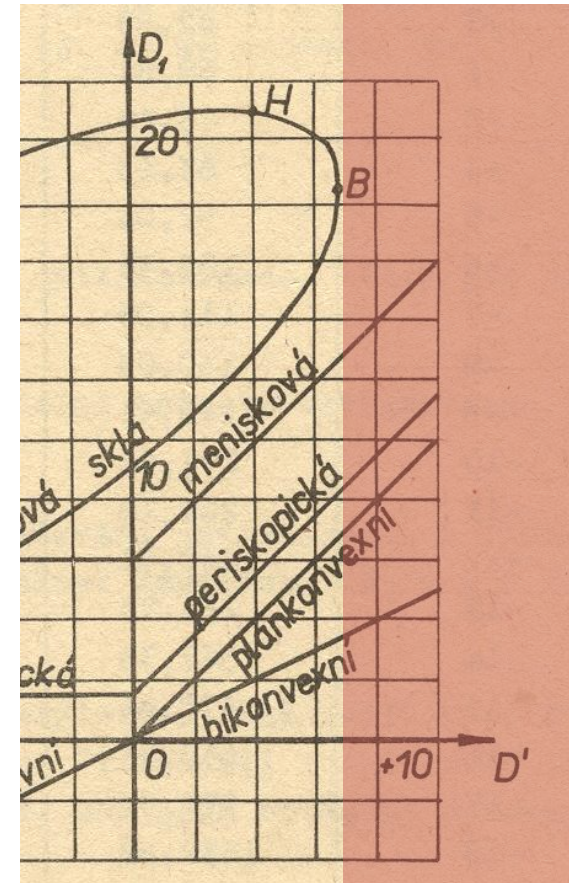
CARL ZEISS  
JENA

## ZEISS KATRALGLÄSER

für Star-Operierte

Blick- richtung	Schriftproben		Blick- richtung
0°	0 F	0 F	0°
10°	0 F	0 F	10°
20°	0 F	0 F	20°
30°	0 F	0 F	30°

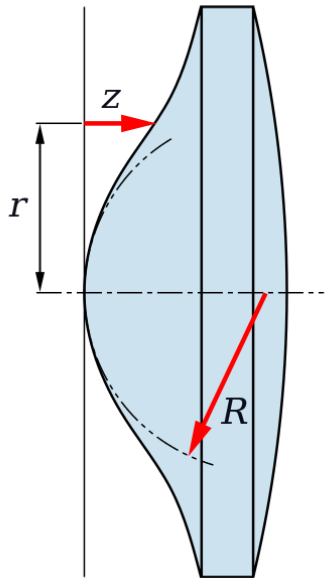
Schriftproben, gesehen durch  
ein gleichseitiges Starglas    ein Katralglas  
von + 13 dptr                      von + 13 dptr  
in den angegebenen Blickrichtungen zur optischen Achse  
des Glases



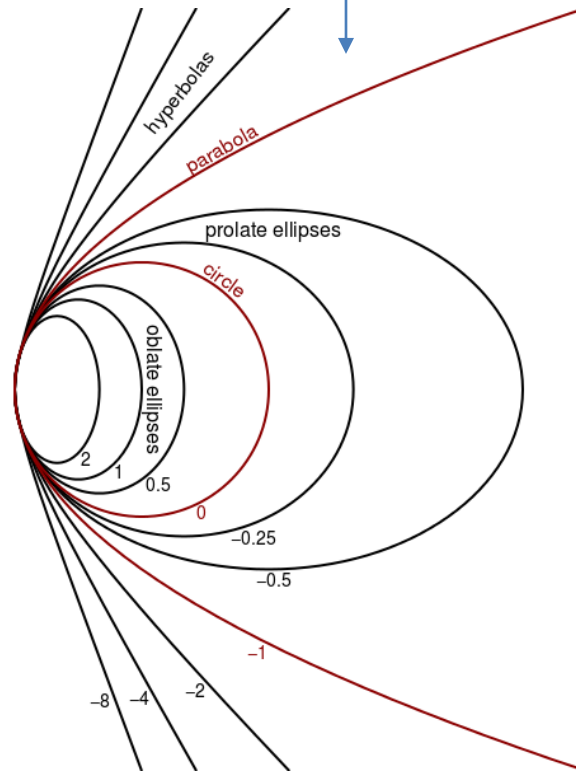
# Asférické plochy

$$\frac{n'}{s'} = \frac{n}{s} + \frac{n' \cos \varepsilon' - n \cos \varepsilon}{r}$$

$$\frac{n' \cos^2 \varepsilon'}{t'} = \frac{n \cos^2 \varepsilon}{t} + \frac{n' \cos \varepsilon' - n \cos \varepsilon}{r}$$



$$z(r) = \frac{r^2}{R \left( 1 + \sqrt{1 - (1 + \kappa) \frac{r^2}{R^2}} \right)} + \alpha_4 r^4 + \alpha_6 r^6 + \dots,$$



# Optické vlastnosti materiálů brýlových čoček

důležité parametry:

- index lomu
- Abbeovo číslo
- hustota
- UV mezní bod
- curve variation factor (CVF)
- odrazivost

**index lomu**

$n_d$  ... pro čáru d

$n_e$  ... pro čáru e

Medium	$n_d$	$n_e$	CVF	Density	UV cut-off	Abbe	$\rho(\%)$
<b>Glasses</b>							
White Crown	1.523	1.525	1.0	2.5	320	59	4.3
Light flint	1.600	1.604	0.87	2.6	334	42	5.3
1.7 glasses	1.700	1.705	0.75	3.2	340	35	6.7
	1.701	1.706	0.75	3.2	320	42	6.7
1.8 glasses	1.802	1.807	0.65	3.7	332	35	8.2
	1.830	1.838	0.63	3.6	340	32	8.6
1.9 glasses	1.885	1.893	0.59	4.0	340	31	9.4
<b>Plastics</b>							
CR39	1.498	1.500	1.0	1.3	355	58	4.0
INDO Superfin	1.523	1.525	0.95	1.3	350	48	4.3
Trivex®	1.532	1.535	0.94	1.1	380	46	4.4
Sola Spectralite	1.537	1.540	0.93	1.2	385	47	4.5
Corning SunSensors®	1.555	1.558	0.90	1.2	380	38	4.7
PPG HIP	1.560	1.563	0.89	1.2	370	38	4.8
AO Alphalite 16XT	1.582	1.585	0.86	1.3	380	34	5.1
Polycarbonate	1.586	1.589	0.85	1.2	385	30	5.2
Hoya Eyas 1.6	1.600	1.603	0.83	1.3	380	42	5.3
Polyurethanes	1.600	1.603	0.83	1.3	380	36	5.3
	1.609	1.612	0.82	1.4	380	32	5.4
	1.660	1.664	0.75	1.4	375	32	6.2
	1.670	1.674	0.74	1.4	395	32	6.3
Hoya Eyry 1.7	1.695	1.710	0.72	1.4	380	36	6.7
High index 1.71	1.710	1.715	0.70	1.4	380	36	6.9
Very high index	1.740	1.746	0.67	1.5	400	33	7.3

# Optické vlastnosti materiálů brýlových čoček

důležité parametry:

- **index lomu**

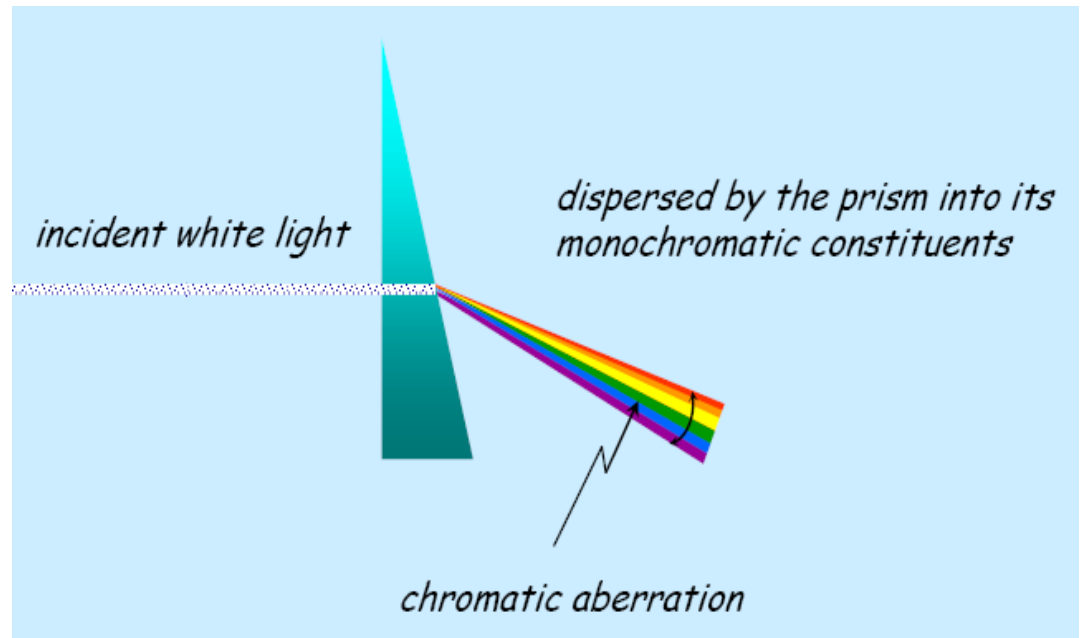
- Abbeovo číslo
- hustota
- UV mezní bod
- curve variation factor (CVF)
- odrazivost

normal index	$n \geq 1.48$	but $< 1.54$
mid index	$n \geq 1.54$	but $< 1.64$
high index	$n \geq 1.64$	but $< 1.74$
very high index	$n \geq 1.74$	

# Optické vlastnosti materiálů brýlových čoček

důležité parametry:

- index lomu
- **Abbeovo číslo**
- hustota
- UV mezní bod
- curve variation factor (CVF)
- odrazivost



$$V = \frac{n_D - 1}{n_F - n_C}$$

kde  $n_D$ ,  $n_F$  a  $n_C$  je index lomu příslušného materiálu na vlnových délkách odpovídajících Fraunhoferovým čárám D, F a C (tj. 589,2 nm, 486,1 nm a 656,3 nm).

# Optické vlastnosti materiálů brýlových čoček

důležité parametry:

- index lomu
- **Abbeovo číslo**
- hustota
- UV mezní bod
- curve variation factor (CVF)
- odrazivost

$$V = \frac{n_D - 1}{n_F - n_C}$$

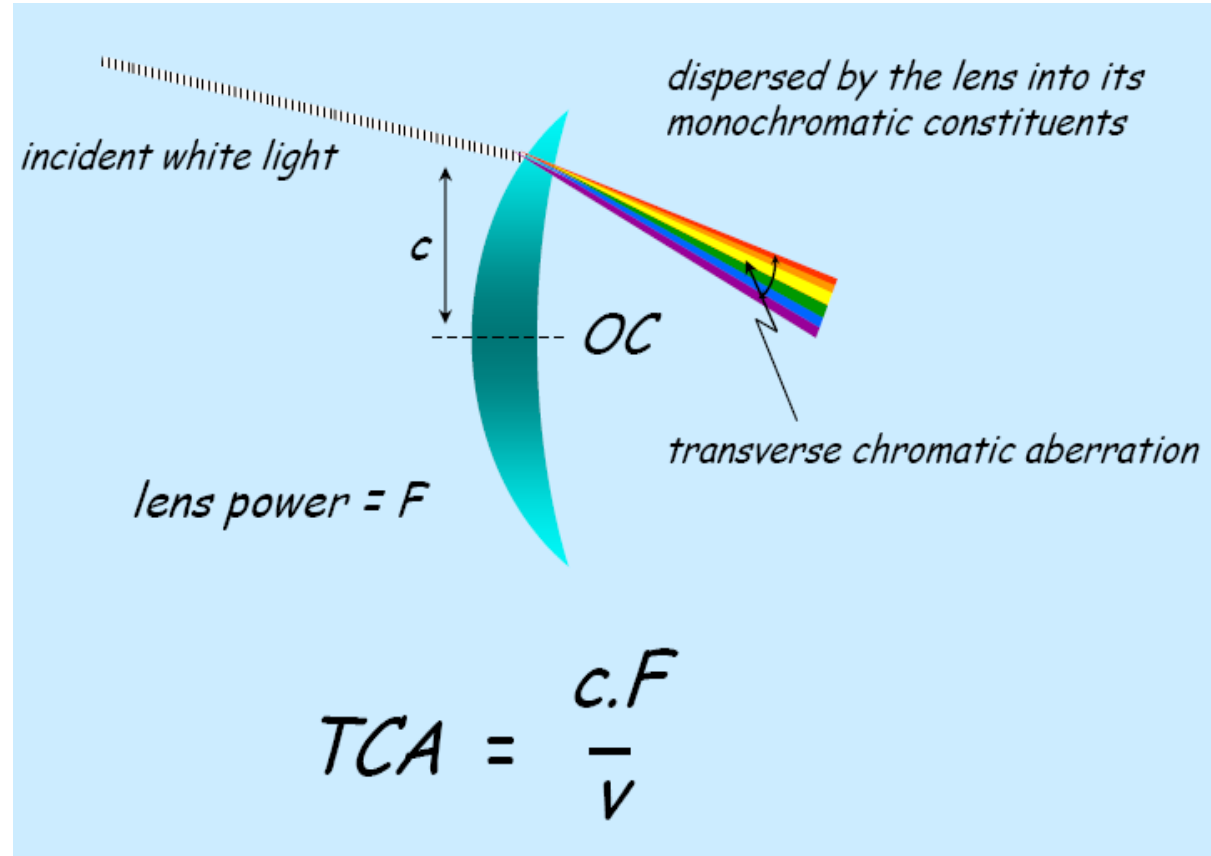
Designation	Element	Wavelength (nm)	Designation	Element	Wavelength (nm)
y	O <sub>2</sub>	898.765	c	Fe	495.761
Z	O <sub>2</sub>	822.696	F	H $\beta$	486.134
A	O <sub>2</sub>	759.370	d	Fe	466.814
B	O <sub>2</sub>	686.719	e	Fe	438.355
C	H $\alpha$	656.281	G'	H $\gamma$	434.047
a	O <sub>2</sub>	627.661	G	Fe	430.790
D <sub>1</sub>	Na	589.592	G	Ca	430.774
D <sub>2</sub>	Na	588.995	h	H $\delta$	410.175
D <sub>3</sub> or d	He	587.5618	H	Ca <sup>+</sup>	396.847
e	Hg	546.073	K	Ca <sup>+</sup>	393.368
E <sub>2</sub>	Fe	527.039	L	Fe	382.044
b <sub>1</sub>	Mg	518.362	N	Fe	358.121
b <sub>2</sub>	Mg	517.270	P	Ti <sup>+</sup>	336.112
b <sub>3</sub>	Fe	516.891	T	Fe	302.108
b <sub>4</sub>	Fe	516.891	t	Ni	299.444
b <sub>4</sub>	Mg	516.733			

# Optické vlastnosti materiálů brýlových čoček

důležité parametry:

- index lomu
- **Abbeovo číslo**
- hustota
- UV mezní bod
- curve variation factor (CVF)
- odrazivost

$$V = \frac{n_D - 1}{n_F - n_C}$$

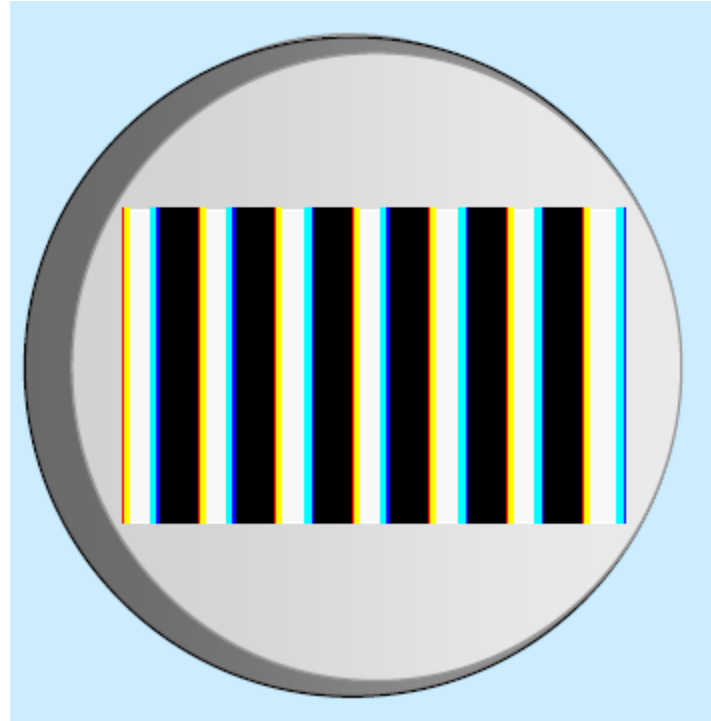


# Optické vlastnosti materiálů brýlových čoček

důležité parametry:

- index lomu
- **Abbeovo číslo**
- hustota
- UV mezní bod
- curve variation factor (CVF)
- odrazivost

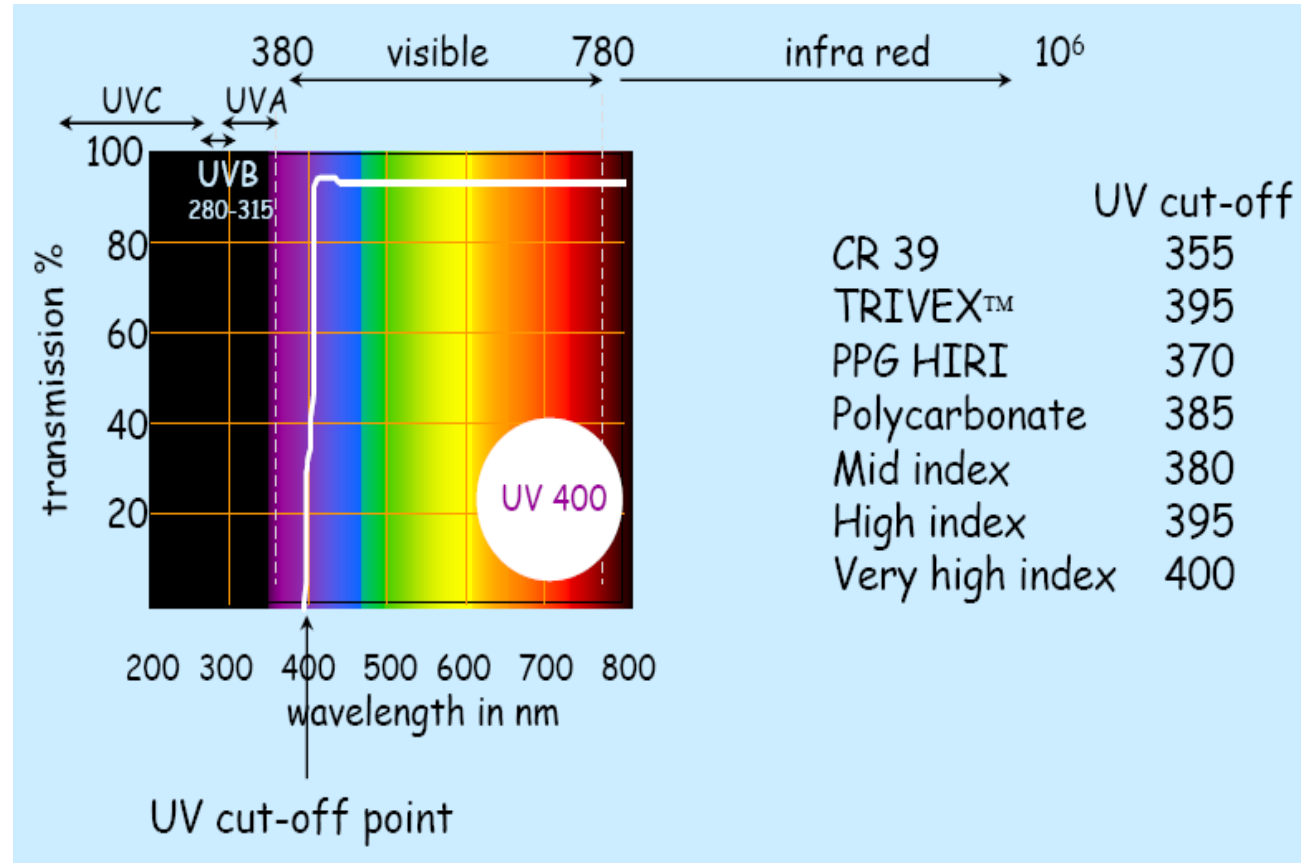
$$V = \frac{n_D - 1}{n_F - n_C}$$



# Optické vlastnosti materiálů brýlových čoček

## důležité parametry:

- index lomu
- Abbeovo číslo
- hustota
- **UV mezní bod**
- curve variation factor (CVF)
- odrazivost



# Optické vlastnosti materiálů brýlových čoček

## důležité parametry:

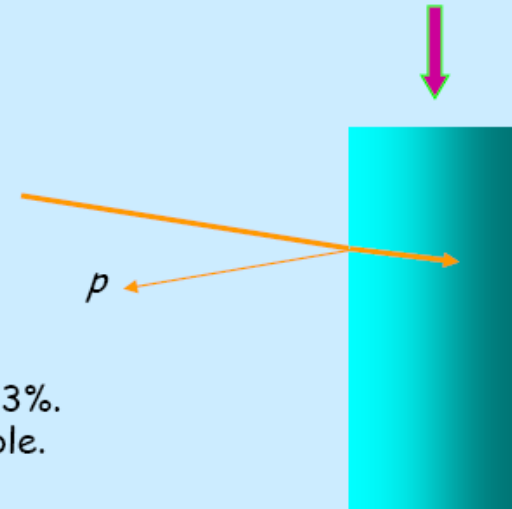
- index lomu
- Abbeovo číslo
- hustota
- UV mezní bod
- CVF
- **odrazivost** (kolmý dopad)

Glass type	index	CVF	Abbe No	density	reflectance	T%
crown	1.525	1.0	59	2.5	4.3%	91.6
mid-index	1.604	0.87	42	2.6	5.4%	89.5
high index	1.705	0.75	42	3.2	6.8%	86.9
very high index	1.807	0.65	35	3.7	8.3%	84.2
very high index	1.892	0.59	31	4.0	9.5%	81.9

Fresnel's fraction.

$$p = \left[ \frac{n - 1}{n + 1} \right]^2 \times 100\%$$

For  $n = 1.525$ , the fraction turns out to be 4.3%.  
Values for other indices are given in the table.



# Optické vlastnosti materiálů brýlových čoček

důležité parametry:

- index lomu
- Abbeovo číslo
- hustota
- UV mezní bod
- **curve variation factor (CVF)**
- odrazivost

$$CVF = \frac{(n_{\text{base}} - 1)}{(n_{\text{mat}} - 1)}$$

$n_{\text{base}}$  is the refractive index of the base material

$n_{\text{mat}}$  is the refractive index of the material being compared

vystihuje odchylku objemu a tloušťky ve srovnání s korunovým sklem, např.

1,0 ... plný objem

0,75 ... o 25 % menší objem